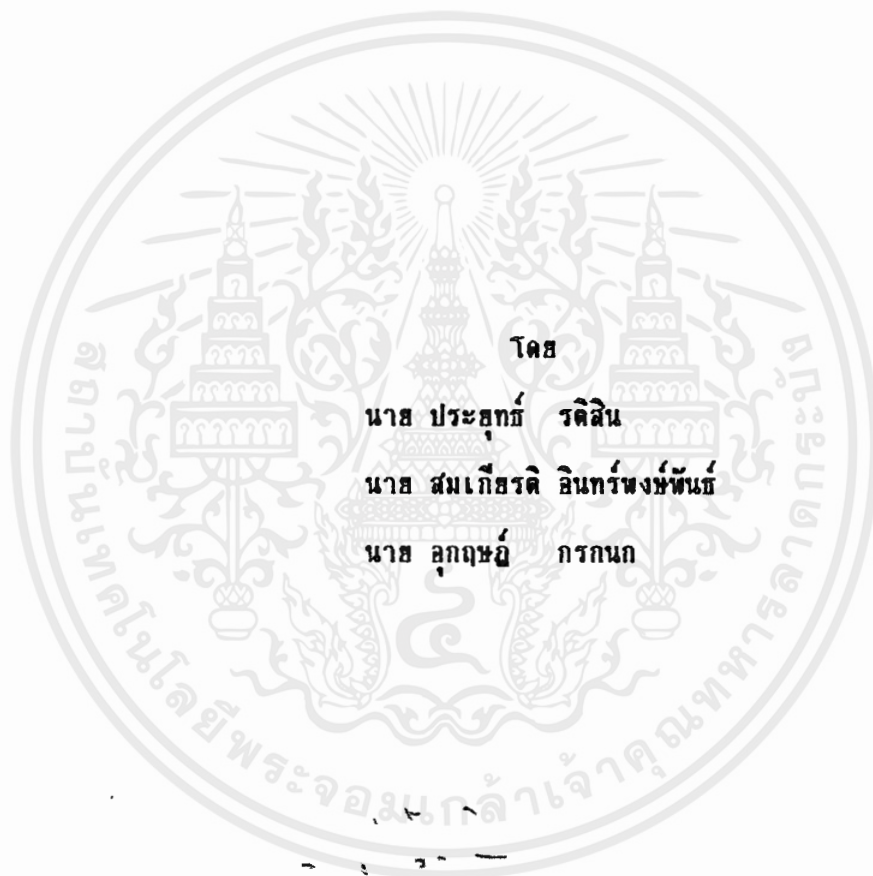




ผลของฉนวนต่อนานาตของสายไฟฟ้า
ในระบบสายส่งแรงต่ำและขนาดกลาง
A SENSITIVITY APPROACH TO SINING
OF INSULATED POWER CABLE IN LOW
AND MEDIUM VOLTAGE ELECTRICAL
POWER DISTRIBUTION SYSTEM



โดย

นาย ประยุทธ์ รดสิน

นาย สัมเกียรติ อินทร์พงษ์พันธ์

นาย ลุกฤษณ์ กรรณก

ปริญญานิพนธ์นี้เป็นส่วนหนึ่งของการศึกษาคตามหลักสูตรปริญญาวิศวกรรมศาสตรบัณฑิต

สาขาวิศวกรรมไฟฟ้า

สถาบันเทคโนโลยีพระจอมเกล้าเจ้าคุณทหารลาดกระบัง

ปีการศึกษา 2535

เอกสารนี้เป็นเอกสารที่สงวนไว้สำหรับการใช้งานเพื่อการศึกษาเท่านั้น ไม่อนุญาตให้นำไปใช้ประโยชน์ด้านการค้า

ไม่ว่ากรณีใดๆ ทั้งสิ้น อีกทั้งห้ามมิให้ดัดแปลงเนื้อหาและต้องอ้างอิงถึงเจ้าของเอกสารทุกครั้งที่มีการ

032711



ปฏิทินพจนานุกรมปีการศึกษา 2535

ภาควิชา วิศวกรรมไฟฟ้า

คณะวิศวกรรมศาสตร์ สถาบันเทคโนโลยีพระจอมเกล้าเจ้าคุณทหารลาดกระบัง

เรื่อง ผลของจนวนต่อขนาดของสายไฟฟ้าในระบบสายส่งไฟฟ้าแรงต่ำและขนาดกลาง

ผู้จัดทำ

1. นาย ประยุทธ์ รัตสิน
2. นาย สมเกียรติ อินทร์พงษ์พันธ์
3. นาย อุกฤษณ์ กรกนก

.....อาจารย์ที่ปรึกษา
(.....รศ. ศัลย์ บรรจงจติร.....)

ผลของจนวนต่อขนาดของสายไฟฟ้าในระบบสายส่งไฟฟ้าแรงต่ำและขนาดกลาง

นาย ประยุทธ์ รติสิน
 นาย สมเกียรติ อินทร์พงษ์พันธ์
 นาย อุกฤษณ์ กรรณก
 รศ. ศุภี บรรจงจิตร
 ปีการศึกษา 2535

บทคัดย่อ

ขนาดของจนวนสายส่งพลังงานที่ใช้ในระบบสายส่งกระจายพลังงานไฟฟ้าจะขึ้นอยู่กับข้อกำหนดที่เป็นมาตรฐานทางวิศวกรรม

ขนาดของสายไฟฟ้า (Cable) หรือ ตัวนำ (Conductor) ที่เป็นตัวรองรับกระแส คือพื้นที่รูปตัดขวางหรือหมายถึงความสามารถในการยอมรับกระแสของ สายไฟฟ้าซึ่งปริมาณของกระแสในแต่ละขนาดของ สายไฟฟ้ามักแสดงอยู่ใน มอก, ข้อกำหนดของการไฟฟ้านครหลวง.

โดยทั่วไป ขนาดของแรงเคลื่อนไฟฟ้า (Voltage) ที่ใช้ในการส่งกระจายพลังงานไฟฟ้าในรางวางสายไฟฟ้า จะมีค่าเท่ากับ [1]

ก. แรงเคลื่อนไฟฟ้าแรงต่ำ (ขนาดต่ำกว่า 600 โวลต์)

ข. แรงเคลื่อนไฟฟ้าขนาดกลาง (ขนาดสูงกว่า 600 โวลต์)

ในปฏิญานพันธ์ฉบับนี้ได้พัฒนาให้เห็นถึงการกำหนดขนาดมาตรฐานของ สายไฟฟ้าโดยใช้หลักเทคนิคการตอบสนอง (Sensitivity Techniques.) ตัววัดการตอบสนองที่สูง (High Sensitivity) มีอิทธิพลต่อขนาดของสายไฟฟ้าที่สามารถตรวจสอบได้ในทุกขนาดของแรงเคลื่อนไฟฟ้า และมีผลต่อการกำหนดมาตรฐานของสายไฟฟ้าที่สามารถตรวจสอบได้ในทุกขนาดของแรงเคลื่อนไฟฟ้า และมีผลต่อการกำหนดมาตรฐานต่อขนาดนำมาใช้ในระบบไฟฟ้ากระแสสลับ และไฟฟ้ากระแสตรง มีการเปรียบเทียบระหว่างการไว้ ตัวนำที่ทำมาจากทองแดงกับอลูมิเนียมร่วมกับจนวนที่เป็น เทอร์โมเซตติงเอ็กซ์แอลพีอี/อีพีอาร์ (Thermosetting XLPE/EPR) หรือ เทอร์โมพลาสติก (Thermoplastic) โดยพิจารณาเน้นเฉพาะลักษณะทางไฟฟ้าเท่านั้น นอกจากนี้ ยังถือว่าเป็นเรื่องสำคัญของการเลือกวัสดุที่จะใช้ทำ ตัวนำ ด้วย มีการตั้งสมมุติฐานว่า เคเบิลที่ใช้พิจารณาอยู่นั้นมีความต้องการทางระบบจักรกลในการติดตั้งดังรูปที่ 1. นี้ ขนาดมาตรฐานของสายไฟฟ้า จะต้องถูกพิจารณาใช้ระบบพลังงาน ในระดับ แรงเคลื่อนไฟฟ้าแรงต่ำ และแรงเคลื่อนไฟฟ้าขนาดกลาง

A SENSITIVITY APPROACH TO THE SIZING OF INSULATED
POWER CABLES IN LOW AND MEDIUM VOLTAGE ELECTRICAL
POWER DISTRIBUTION SYSTEMS

Prayut Ratisin

Somkiat Inpongpan

Ukrit Kornkanok

Associate Professor Sulee Bunjongjit

1993

Abstract

The sizing of insulated power cables for use in electrical power distribution system is based on definite engineering criteria.

Cable or conductor size for a given current loading (ampacity) is the cross-sectional area or size of the current carrying portion of the cable, namely the conductor expressed in TIS. or MEA., PEA.

The most commonly used voltage classes for electrical power distribution in race and cable trays [1]:

- a). Low Voltage-600 volt and below.
- b). Medium Voltage-over 600 volt.

The paper develops cable sizing criteria using sensitivity techniques. High sensitivity parameter that influence cable size can be determined in each voltage class and design criteria formulated; to apply to both A.C. and D.C. system. Copper and aluminum, conductor with thermosetting (EPR/XLPE) or thermoplastic insulations are compared for use in the above systems with regard to their electrical characteristics only. It must be realized that cost might also play an important role in the selection of conductor material. It is assumed that the cable under consideration meet the mechanical requirement for installation. Cable sizing criteria will be considered for a typical power system as shown Fig. 1

III
สารบัญ

เรื่อง	หน้า
บทคัดย่อ	I-II
บทที่1. บทนำ	1
บทที่2. ทฤษฎีและหลักการ	3
บทที่3. การคำนวณและผลที่ได้	10
บทที่4. บทวิจารณ์และสรุป	20
ภาคผนวก	21
เอกสารอ้างอิง	33



สารบัญรูป

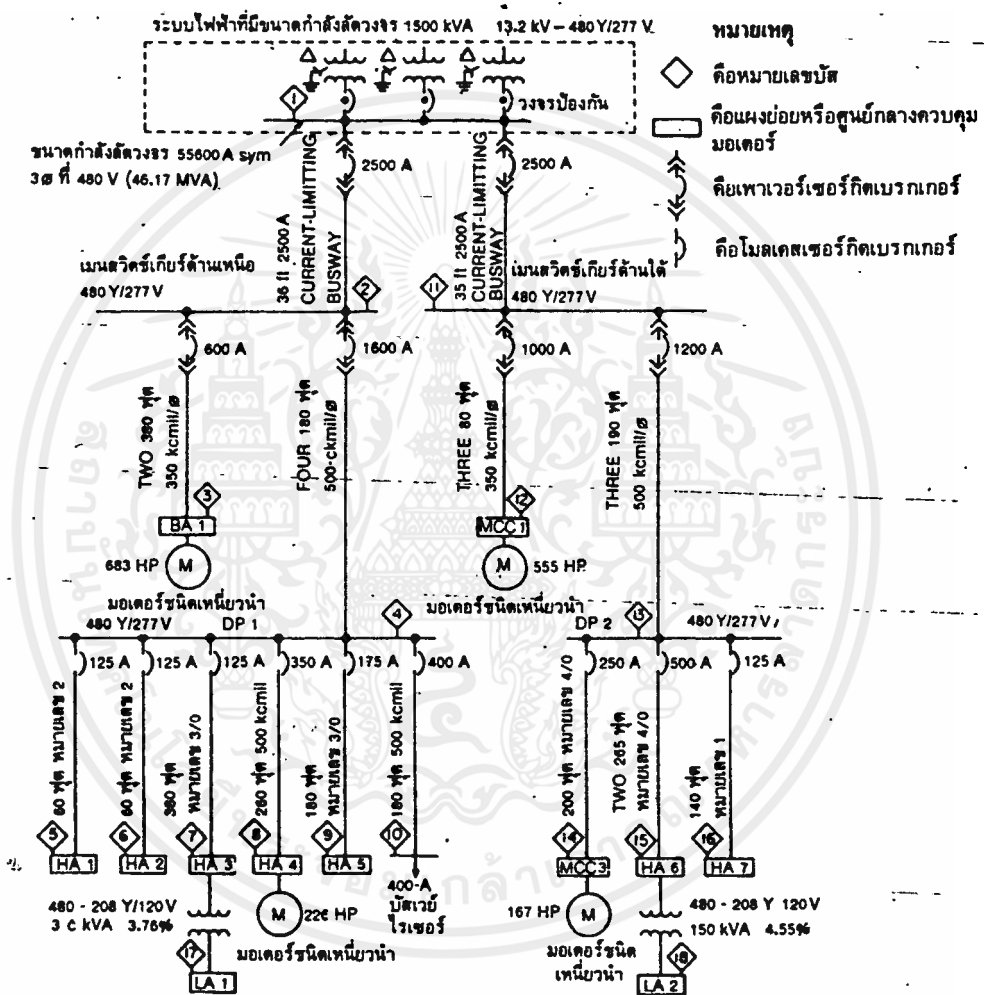
รูปที่	หน้า
1. รูปไทดแกรมของระบบไฟฟ้า	1
2. แสดงแรงเคลื่อนไฟฟ้าตกคร่อมในสาย	6
3.1 กราฟกระแสลัดวงจรของตัวนำทองแดงฉนวนอีพ็อกซี/เอ็กซ์แอลพีอี	13
3.2 กราฟกระแสลัดวงจรของตัวนำทองแดงฉนวนพีวีซี	14
3.3 กราฟกระแสลัดวงจรของตัวนำอลูมิเนียมฉนวนอีพ็อกซี/เอ็กซ์แอลพีอี	15
3.4 กราฟกระแสลัดวงจรของตัวนำอลูมิเนียมฉนวนพีวีซี	16
4. กราฟแสดงประสิทธิภาพการตอบสนองของแรงเคลื่อนไฟฟ้าตกคร่อมในสาย	17
5. กราฟแสดงประสิทธิภาพการตอบสนองของกระแสลัดวงจร	18
6. กราฟแสดงพื้นที่หน้าตัดต่อกระแสกับสถานะการติดตั้ง	19

สารบัญตาราง

ตารางที่	หน้า
1. กระแสลัดวงจรของตัวนำทองแดงจนวนอัมฟี่อาร์/ เอ็กซ์แอลฟี่อี่	11
2. กระแสลัดวงจรของตัวนำทองแดงจนวนฟี่วีซี	11
3. กระแสลัดวงจรของตัวนำอลูมิเนียมจนวนอัมฟี่อาร์/ เอ็กซ์แอลฟี่อี่	12
4. กระแสลัดวงจรของตัวนำอลูมิเนียมจนวนฟี่วีซี	12
5. ค่ากระแสของตัวนำที่วางในราง	26
6. ค่ากระแสของตัวนำที่วางใต้พื้นผิว	27
7. ค่ากระแสของตัวนำที่อยู่ในท่อร้อยสายไฟ	28
8. แรงเคลื่อนตกในท่อร้อยสายไฟ(3 เฟส)	29
9. แรงเคลื่อนตกในท่อร้อยสายไฟ(1 เฟส)	30
10. แรงเคลื่อนตกในท่ออลโลหะร้อยสายไฟ(3 เฟส)	31
11. แรงเคลื่อนตกในท่ออลโลหะร้อยสายไฟ(1 เฟส)	32

บทที่ 1 บทนำ

การคำนวณหาขนาดกระแสสำหรับสายไฟฟ้า นั้นอาจจะมีหลายวิธี แต่ในที่นี้จะกล่าวถึง การคำนวณโดยการอาศัยหลักการของการเพิ่มชั้นของอุณหภูมิ เมื่อมีกระแสไหลผ่าน ซึ่ง อุณหภูมิที่เพิ่มขึ้นจะระมัดระวังจำกัด ทั้งนี้เพื่อไม่ให้เป็นอันตรายต่อฉนวนที่หุ้ม พร้อมทั้งยังได้แสดงวิ ธีการคำนวณโดยใช้สูตรสำเร็จ (Close form formula) อันจะทำให้สะดวกต่อการใช้งาน และยังแสดงผลเปรียบเทียบกับขนาดกระแสสำหรับสายไฟฟ้า ที่มีใช้อยู่ในปัจจุบันด้วย



รูปที่ 1.

ปัจจัยสำคัญทางด้านเทคนิค ในปัญหานี้เราสามารถกล่าวเป็นข้อ ๆ ที่มีอิทธิพลต่อขนาดของสายได้ดังนี้

ก. ระบบสายส่งไฟฟ้าในปัจจุบัน และ อนาคต กล่าวคือ

1. ชนิด และความหนาของฉนวนสายไฟฟ้า
2. พื้นที่หน้าตัดขวางของ ตัวนำ ที่ใช้ขึ้นอยู่กับข้อกำหนดค่า แรงเคลื่อนไฟฟ้า ที่ใช้

ข. การรับกระแส (Ampacity) ของสายไฟฟ้า จากหน้าที่พื้นฐานของ สายไฟฟ้าคือการ ให้นำกระแสได้ทั้งหมด ทั้งสิ้น อีกทั้งห้ามมิให้ตัดแปลงเนื้อหาและต้องอ้างอิงถึงเจ้าของเอกสารทุกครั้งที่มีการนำไปใช้

รองรับกระแส ฉะนั้นค่า กระแส จึงถูกพิจารณาถึง เป็นเรื่องแรกสำหรับการกำหนดขนาดของสายไฟฟ้า

ค. เงื่อนไขของ อุณหภูมิ สำคัญที่สุดที่ทำให้อุณหภูมิของ สายไฟฟ้า เพิ่มขึ้นคือความร้อนจากสิ่งต่าง ๆ ภายนอกอันได้แก่

1. อุณหภูมิของโลกอันได้แก่อุณหภูมิของพื้นดินและอากาศ
2. สภาพการระบายอุณหภูมิจำจุบันของ สายไฟฟ้า
3. สำหรับ สายไฟฟ้า ที่อยู่ในท่อต่อจำนวนของ สายไฟฟ้าที่อยู่ใกล้ซึ่งกันและกัน ความร้อนอันเกิดจากกระแสไหล และความลึกของ สายไฟฟ้า(ถ้าถูกฝัง)

ง. อัตราการเปลี่ยนแปลงของระดับแรงเคลื่อนไฟฟ้าสามารถกำหนดได้โดยค่าต่ำสุดของแรงเคลื่อนไฟฟ้า

จ. กระแสลัดวงจรของสายไฟฟ้า (Short circuit withstand of cable) จะเห็นค่านี้ได้จาก โปรแกรมคอมพิวเตอร์ ซึ่งจะกล่าวต่อไป

ฉ. ชนิดของฉนวน การติดตั้ง เคเบิล โดยทั่วไปมีหลายลักษณะ เช่น

1. รางเดินสายไฟฟ้า (Cable tray)
2. ท่อร้อยสายไฟฟ้า (Conduit)
3. ท่อร้อยสายไฟฟ้าใต้ดิน (Underground Duct)

บทที่ 2 ทฤษฎีและหลักการ

2.1 มาตรฐาน ของขนาดสายไฟฟ้า

สายไฟฟ้าควรมีขนาดใกล้เคียงกับค่าต่ำสุดที่ได้รับจากการกำหนดของ สายตัวนำด้านพื้นที่ของด้านตัดขวาง เพื่อเป็นมาตรฐานที่ใช้พิจารณาที่ระดับของแรงเคลื่อนไฟฟ้า ในการพิจารณาการกำหนดสายไฟฟ้า ที่จะใช้กำหนดอุณหภูมิ ในหลาย ระดับในรางเดินสายไฟฟ้า โดยหลักเกณฑ์ที่จะเป็นตัวกำหนดขนาดของสายไฟฟ้า คือ

2.1.1) การรับภาระกระแสไฟฟ้า (AMPACITY)

2.1.2) อัตราการเปลี่ยนแปลงของแรงเคลื่อนไฟฟ้า (PERMISSIBLE VOLTAGE REGULATION)

2.1.3) การทนต่อกระแสลัดวงจรของสายฉนวนเคเบิล (SHORT CIRCUIT WITH STAND OF INSULATED POWER CABLE)

2.1.1) การรับภาระกระแส

ในมาตรฐานของ เอ็นอีซี[2] (The National Electric Code, NEC) และมาตรฐานของ ไอซีอีเอ[3,4] (Insulated Cable Engineers Association Standards, ICEA) ได้กำหนดค่าตารางการรับภาระกระแส สำหรับมาตรฐานของสายไฟฟ้าที่แปรผันไปกับอุณหภูมิที่ระดับต่าง ๆ กัน (60 และ 90 องศาเซลเซียส) และ ตัวนำที่ใช้เป็นทองแดงหรืออลูมิเนียม ในบริเวณนี้ใช้มาตรฐานของ มอก., ไอซีอีเอ. โดยการแปลงค่ามาเพื่อ เทียบมาตรฐานกับการไฟฟ้านครหลวง

โดยพื้นฐานแล้วค่าการรับภาระกระแสของสายไฟฟ้า ถูกกำหนดจาก เงื่อนไขของอุณหภูมิของสายไฟฟ้า จะมีค่ามากตามอุณหภูมิของสายไฟฟ้า จะเกิดจากความสามารในการกระจายความร้อนของตัวนำดังนี้ สายไฟฟ้าจะมีค่าการรับภาระกระแสได้เท่าไรนั้นเกิดจาก

2.1.1.1) อุณหภูมิที่อยู่โดยรอบ

2.1.1.2) เงื่อนไขการติดตั้ง

การมีสายไฟฟ้าเส้นอื่น ๆ อยู่ใกล้ ๆ จะทำให้อุณหภูมิโดยรอบสูงขึ้น และทำให้ความสามารถในการกระจายความร้อนของสายไฟฟ้านั้นลดลง ในบางเงื่อนไขการรับภาระกระแสเกิน ก็มีผลต่อขนาดของสายไฟฟ้าด้วย และเมื่อสายไฟฟ้าวางกันมากกว่า 1 (รางเดินสายไฟฟ้า) กระแสของระบบจะมีค่าต่ำสุดของค่ากระแสที่ควรจะมีได้ในแต่ละรางเดินสายไฟฟ้า

2.1.2) อัตราการเปลี่ยนแปลงของแรงเคลื่อนไฟฟ้า

รูปที่ 2. แสดงให้เห็นถึงความสำคัญของ เฟสเซอร์ระหว่างปลายจุดส่ง E_s , แรงเคลื่อนไฟฟ้าของภาระ E_r , และแรงเคลื่อนตกกระท่วงทาง VD [5]

สูตรของ E_r คือ

$$E_r = E_s + IR \cos \phi + IX \sin \phi - \sqrt{E_s^2 - (IX \cos \phi - IR \sin \phi)^2} \quad (1ก)$$

และสูตรโดยประมาณคือ

$$VD = IR \cos \phi + IX \sin \phi \quad (1ข)$$

เมื่อ

VD = แรงเคลื่อนตกของสายไฟ-สายนิวตรอน

I = กระแสที่ไหลในสายไฟฟ้า แอมป์

R = ความต้านทานของสายต่อหนึ่งตัวนำ ในหน่วยโอห์ม

X = ความต้านทานเหนี่ยวนำของสายต่อหนึ่งตัวนำ ในหน่วยโอห์ม

$\cos \phi$ = load power factor.

$\sin \phi$ = load reactive factor.

เราแบ่งการคำนวณออกได้คือ

$$\text{single phase} = 2$$

$$\text{three phase} = \sqrt{3} \text{ หรือ } 1.732$$

ในการใช้สูตรนี้ กระแสในสายถูกกำหนดโดยค่าสูงสุด ของกระแสของตัวนำ

ความต้านทาน(R) คือความต้านทานในกระแสสลับของตัวนำนั้น ๆ ในเงื่อนไขของการติดตั้ง ความต้านทานกระแสสลับจะมีค่าใกล้เคียงกับความต้านทานกระแสตรง จะแปรผันตามขนาดของตัวนำ โดยอุณหภูมิเงื่อนไข = 70 องศา และการติดตั้งในท่อโลหะและรางเดินสายไฟฟ้า

ความต้านทานเหนี่ยวนำ(X) คือเงื่อนไขในการติดตั้งและมันจะขึ้นอยู่กับขนาดตัวนำ, ท่อร้อยสายไฟฟ้า, รางเดินสายไฟฟ้า และ ระยะห่างระหว่างสายตัวนำ แต่จะมากกับสายตัวนำเดี่ยว แต่เราจะเฉลี่ยค่าของมันและนำมาใช้งาน

$$VD = I (R \cos \phi + X \sin \phi)$$

$$\text{หรือ } VD = I (rL \cos \phi + xL \sin \phi)$$

$$VD = IL (r \cos \phi + x \sin \phi)$$

เอกสารนี้เป็นเอกสารที่สงวนไว้สำหรับการใช้งานเพื่อการศึกษายเท่านั้น ไม่อนุญาตให้นำไปใช้ประโยชน์ด้านการค้า ไม่ว่ากรณีใดๆ ทั้งสิ้น อีกทั้งห้ามมิให้ตัดแปลงเนื้อหาและต้องอ้างอิงถึงเจ้าของเอกสารทุกครั้งที่มีการนำไปใช้

$$VD = \frac{I_1}{1000} (r \cos \phi + x \sin \phi)$$

$$VD(3\phi) = \sqrt{3} \frac{I_1}{1000} (r \cos \phi + x \sin \phi) = \frac{I_1}{1000} \sqrt{3} (r \cos \phi + x \sin \phi)$$

$$VD(1\phi) = 2 \frac{I_1}{1000} (r \cos \phi + x \sin \phi) = \frac{I_1}{1000} 2 (r \cos \phi + x \sin \phi)$$

เมื่อ

L = ความยาวของสายไฟฟ้า(กิโลเมตร)

$$L = \frac{l}{1000}$$

l = ความยาวของสาย(เมตร)

r = ความต้านทานโอห์มต่อกิโลเมตร

x = ความต้านทานเหนี่ยวนำโอห์มต่อกิโลเมตร

$$X = 2. \text{p.f.} (0.1404 \log s/r + 0.0153) \cdot 10^{-3} \quad (1ค)$$

เมื่อ

f = ความถี่ของกระแสไฟฟ้า ในหน่วย เฮิรท์

r = มุมเรเดียนของตัวนำ มิลลิเมตร

s = equivalent spacing of conductors between centers in m.m. for a three conductor triangulation configuration

$$s = \sqrt[3]{ABC} \quad (2ก)$$

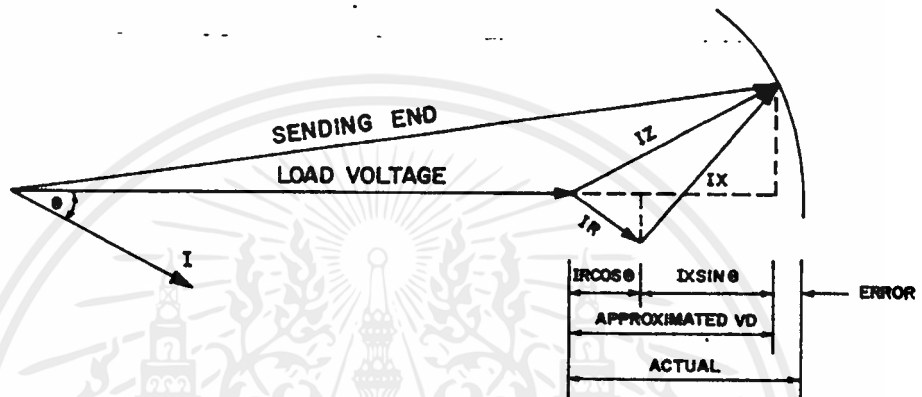
$$s = A \text{ for equilateral triangle} \quad (2ข)$$

$$s = 1.123A \text{ for right triangle} \quad (2ค)$$

$$s = 1.26A \text{ for symmetrical flat} \quad (2ง)$$

เอกสารนี้เป็นเอกสารที่สงวนไว้สำหรับการใช้งานเพื่อการศึกษาเท่านั้น ไม่นอนุญาตให้นำไปใช้ประโยชน์ด้านการค้า
ไม่ว่ากรณีใดๆ ทั้งสิ้น อีกทั้งห้ามมิให้ตัดแปลงเนื้อหาและต้องอ้างอิงถึงเจ้าของเอกสารทุกครั้งที่มีการนำไปใช้

เมื่อ A, B, C = การแตกต่างระหว่างมุมของตัวนำ มิลลิเมตร ใน มุมของเฟส (triangular configuration.)



รูปที่ 2. เฟสเซอร์ไดแกรมของระดับของแรงเคลื่อนไฟฟ้า

2.1.3 การลัดวงจร

ภายใต้เงื่อนไขการลัดวงจร, อุณหภูมิของตัวนำขึ้นอยู่กับองค์ประกอบในสายตัวนำ

- 2.1.3.1) ค่าสูงสุดของกระแสลัดวงจร
- 2.1.3.2) ชนิดและพื้นที่หน้าตัดของตัวนำ
- 2.1.3.3) ช่วงเวลาของการลัดวงจร
- 2.1.3.4) อุณหภูมิก่อนการลัดวงจร

สมการถูกสร้างขึ้นมาสำหรับการหาขนาดของกระแสลัดวงจร ที่ตัวนำทำมาจาก ทองแดง และ อลูมิเนียม ซึ่งแสดงสมการพร้อมกราฟในรูปที่ 3.1-3.4

สมการการหากระแสลัดวงจร

ก.) ตัวนำชนิดทองแดงฉนวนเอ็กแอลพีอี/อีพียาร์ (COPPER CONDUCTOR WITH THEROSETTING (XLPE/EPR) INSULATION รูปที่ 3.1

$$(I/A)^2 t = 0.0125 \times 10^{-3} \log((T_2 + 234)/(T_1 + 234)) \quad (3ก)$$

เมื่อ I = กระแสลัดวงจร [แอมป์]

A = พื้นที่หน้าตัด [มิลลิเมตร]

T_1 = อุณหภูมิใช้งานสูงสุด = 90 องศาเซลเซียส

T_2 = อุณหภูมิกระแสลัดวงจรสูงสุด = 250 องศาเซลเซียส

t = เวลาของกระแสลัดวงจร [วินาที]

ข.) ตัวนำชนิดทองแดงฉนวนพีวีซี (COPPER CONDUCTOR WITH THERMOPLASTIC INSULATION รูปที่ 3.2

$$(I/A)^2 t = 0.0125 \times 10^{-3} \log((T_2 + 234)/(T_1 + 234)) \quad (3ข)$$

เมื่อ T_1 = อุณหภูมิใช้งานสูงสุด = 75 องศาเซลเซียส

T_2 = อุณหภูมิกระแสลัดวงจรสูงสุด = 150 องศาเซลเซียส

ค.) ตัวนำชนิดอลูมิเนียมฉนวนเอ็กแอลพีอี/อีพียาร์ (ALUMINUM CONDUCTOR WITH THEROSETTING (XLPE/EPR) INSULATION รูปที่ 3.3

$$(I/A)^2 t = 0.00527 \times 10^{-3} \log((T_2 + 228)/(T_1 + 228)) \quad (3ค)$$

เมื่อ T_1 = อุณหภูมิใช้งานสูงสุด = 90 องศาเซลเซียส

T_2 = อุณหภูมิกระแสลัดวงจรสูงสุด = 250 องศาเซลเซียส

ง.) ตัวนำชนิดอลูมิเนียมฉนวนพีวีซี (ALUMINUM CONDUCTOR WITH THERMOPLASTIC INSULATION) รูปที่ 3.4

$$(I/A)^2 t = 0.00527 \times 10^{-3} \log((T_2 + 228)/(T_1 + 228)) \quad (3ง)$$

เมื่อ $T_1 =$ อุณหภูมิใช้งานสูงสุด = 75° องศาเซลเซียส

$T_2 =$ อุณหภูมิกระแสลัดวงจรสูงสุด = 150° องศาเซลเซียส

2.2 การคำนวณหาความไว (SENSITIVITY CALCULATION)

เทคนิคการวิเคราะห์ ความไว มีประโยชน์ในการกำหนดมาตรฐาน การหาค่า การตอบสนองสูง หาได้จากการคำนวณ ในการพิจารณาสายไฟฟ้าที่จ่าย แรงเคลื่อนไฟฟ้า, กระแสไฟฟ้า และ พาวเวอร์แฟกเตอร์ อยู่ภายใต้เงื่อนไขปกติ สายตัวนำนี้ควรมีขนาดที่สามารถต้านกระแสสูงสุดชั่วขณะ จนกระทั่งทำให้อยู่ในสภาพปกติด้วยการใส่ตัวป้องกันเข้าไปด้วย ดังนั้นประสิทธิภาพการตอบสนองนี้มี สองค่าคือ S_1, S_2 สามารถหาค่าได้

2.2.1.) S_1 : เป็นความไวของเคลื่อนไฟฟ้าตก ซึ่งมีความสัมพันธ์กับแรงเคลื่อนไฟฟ้าจุดส่ง

2.2.2.) S_2 : เป็นความไวของพื้นที่หน้าตัดตัวนำซึ่งมีความสัมพันธ์กับกระแสลัดวงจร

2.2.1.) ความไวของแรงเคลื่อนไฟฟ้าตก โดยมีสมการความสัมพันธ์จากแรงเคลื่อนไฟฟ้าจุดส่ง ถึง จุดที่มีการอยู่ ที่ให้พาวเวอร์แฟกเตอร์ ($P.F = \cos \phi$)

$$VD = [E_s - E_r] \quad (4ก)$$

$$S_1 = \frac{\partial VD}{\partial E_s} = \frac{E_s}{\sqrt{E_s^2 - (IX \cos \phi - IR \sin \phi)^2}} \quad (4ข)$$

2.2.2.) ความไวของพื้นที่หน้าตัดต่อกระแสลัดวงจร โดยมีความสัมพันธ์ระหว่างกระแสลัดวงจรกับพื้นที่หน้าตัดตัวนำ สามารถกำหนดได้จากสมการการหากระแสลัดวงจร จะแปรผันไปกับตัวนำ และวัตถุที่เป็นฉนวน และแสดงเป็นรูปสมการได้ดังนี้



2.2.2.1.) ตัวนำทองแดงขนาดหน้าเอ็กแอลฟี่ จากสมการ 3ก

$$S_e = \frac{\theta A}{\theta I} = 13.9\sqrt{T} \quad (5ก)$$

2.2.2.2.) ตัวนำทองแดงขนาดหน้าฟี่ซี จากสมการ 3ข

$$S_e = \frac{\theta A}{\theta I} = 18.89\sqrt{T} \quad (5ข)$$

2.2.2.3.) ตัวนำอลูมิเนียมขนาดหน้าเอ็กแอลฟี่ จากสมการ 3ค

$$S_e = \frac{\theta A}{\theta I} = 21.3\sqrt{T} \quad (5ค)$$

2.2.2.4.) ตัวนำอลูมิเนียมขนาดหน้าฟี่ซี จากสมการ 3ง

$$S_e = \frac{\theta A}{\theta I} = 28.86\sqrt{T} \quad (5ง)$$

จะเห็นได้ว่ากระแสลัดวงจร มีผลต่อขนาดตัวนำ เมื่อเวลามากขึ้น เช่นเมื่อสวิตซ์ตัดคอนแบบสุญญากาศ (AIR VACCUM CIRCUIT BREAKER) ถูกใช้ในเวลาที่มากขึ้น

บทที่ 3 การคำนวณและผลที่ได้

จากการที่เราได้นำคอมพิวเตอร์มาช่วยในการคำนวณตามสมการที่ 3ก และสมการที่ 3ข จะเป็นของ ทองแดง เราจะได้ตารางออกมาซึ่งถ้าเรามองที่เวลาจะเห็นว่าที่เวลาน้อยจะมีค่ากระแสลัดวงจรมากกว่า และที่ขนาดของพื้นที่หน้าตัดมากขึ้นกระแสลัดวงจรจะแปรผันตามด้วย จะเห็นได้ว่า ฉนวนเอ็กซ์แอลพรี/อีพียาร์ จะมีค่ากระแสลัดวงจรสูงกว่า ฉนวนพีวีซี ส่วนสมการที่ 3ค และสมการ 3งจะเป็นของ อลูมิเนียม ซึ่งจะคล้ายกับทองแดง แต่ค่าที่ได้จะมีค่าน้อยกว่า ตามตารางที่ 1-4 ต่อระยะทาง 300 เมตรซึ่งจะเป็นการง่ายขึ้นจึงได้เขียนเป็นกราฟขึ้นเพื่อง่ายต่อการอ่าน ดังกราฟ ที่ 1-4 ตามลำดับ

การหาความไว เราคำนวณสองแบบคือ

1. ความไวต่อแรงเคลื่อนตกในสาย ขึ้นอยู่กับ เฟาเวอร์แฟกเตอร์ ($pf. = \cos\phi$) เราจะได้กราฟที่ 5
2. ความไวของพื้นที่หน้าตัดต่อกระแสลัดวงจร เราจะได้กราฟที่ 6



COPPER CONDUCTOR WITH THERMOSETTING(EPR/XLPE) INSULATION
 MAXIMUM OPERATING TEMPERATURE = 90C.
 MAXIMUM SHORT CIRCUIT TEMPERATURE= 250C.

cycle(Hz)	1	2	4	8	16	25	50	100
10 SQRT-M.M.¶	4.852	3.431	2.426	1.716	1.213	0.970	0.686	0.485
16 SQRT-M.M.¶	7.764	5.490	3.882	2.745	1.941	1.553	1.098	0.776
25 SQRT-M.M.¶	12.131	8.578	6.066	4.289	3.033	2.426	1.716	1.213
35 SQRT-M.M.¶	16.984	12.009	8.492	6.005	4.246	3.397	2.402	1.698
50 SQRT-M.M.¶	24.262	17.156	12.131	8.578	6.066	4.852	3.431	2.426
70 SQRT-M.M.¶	33.967	24.018	16.984	12.009	8.492	6.793	4.804	3.397
95 SQRT-M.M.¶	46.098	32.596	23.049	16.298	11.525	9.220	6.519	4.610
120 SQRT-M.M.¶	58.229	41.174	29.115	20.587	14.557	11.646	8.235	5.823
150 SQRT-M.M.¶	72.787	51.468	36.393	25.734	18.197	14.557	10.294	7.279
185 SQRT-M.M.¶	89.770	63.477	44.885	31.739	22.443	17.954	12.695	8.977
240 SQRT-M.M.¶	116.459	82.349	58.229	41.174	29.115	23.292	16.470	11.646
300 SQRT-M.M.¶	145.573	102.936	72.787	51.468	36.393	29.115	20.587	14.557
400 SQRT-M.M.¶	194.098	137.248	97.049	68.624	48.524	38.820	27.450	19.410
500 SQRT-M.M.¶	242.622	171.560	121.311	85.780	60.656	48.524	34.312	24.262

ตารางที่.1

SHORT CIRCUIT CURRENT - THOUSAND OF AMPERS

HOW DO YOUR SEE GRAPH !

:PRESS ANY KEY:

COPPER CONDUCTOR WITH THERMOPLASTIC INSULATION
 MAXIMUM OPERATING TEMPERATURE = 75C.
 MAXIMUM SHORT CIRCUIT TEMPERATURE= 150C.

cycle(Hz)	1	2	4	8	16	25	50	100
10 SQRT-M.M.¶	3.571	2.525	1.785	1.262	0.893	0.714	0.505	0.357
16 SQRT-M.M.¶	5.713	4.040	2.856	2.020	1.428	1.143	0.808	0.571
25 SQRT-M.M.¶	8.926	6.312	4.463	3.156	2.232	1.785	1.262	0.893
35 SQRT-M.M.¶	12.497	8.837	6.248	4.418	3.124	2.499	1.767	1.250
50 SQRT-M.M.¶	17.853	12.624	8.926	6.312	4.463	3.571	2.525	1.785
70 SQRT-M.M.¶	24.994	17.673	12.497	8.837	6.248	4.999	3.535	2.499
95 SQRT-M.M.¶	33.920	23.985	16.960	11.993	8.480	6.784	4.797	3.392
120 SQRT-M.M.¶	42.847	30.297	21.423	15.149	10.712	8.569	6.059	4.285
150 SQRT-M.M.¶	53.558	37.871	26.779	18.936	13.390	10.712	7.574	5.356
185 SQRT-M.M.¶	66.055	46.708	33.028	23.354	16.514	13.211	9.342	6.606
240 SQRT-M.M.¶	85.693	60.594	42.847	30.297	21.423	17.139	12.119	8.569
300 SQRT-M.M.¶	107.116	75.743	53.558	37.871	26.779	21.423	15.149	10.712
400 SQRT-M.M.¶	142.822	100.990	71.411	50.495	35.705	28.564	20.198	14.282
500 SQRT-M.M.¶	178.527	126.238	89.264	63.119	44.632	35.705	25.248	17.853

ตารางที่.2

SHORT CIRCUIT CURRENT - THOUSAND OF AMPERS

HOW DO YOUR SEE GRAPH !

:PRESS ANY KEY:

เอกสารนี้เป็นเอกสารที่สงวนไว้สำหรับการใช้งานเพื่อการศึกษาเท่านั้น ไม่อนุญาตให้นำไปใช้ประโยชน์ด้านการค้า
 ไม่ว่ากรณีใดๆ ทั้งสิ้น อีกทั้งห้ามมิให้ดัดแปลงเนื้อหาและต้องอ้างอิงถึงเจ้าของเอกสารทุกครั้งที่มีการนำไปใช้

ALUMINUM CONDUCTOR WITH THERMOSETTING(XPR/XLPE) INSULATION

MAXIMUM OPERATING TEMPERATURE = 90C.

MAXIMUM SHORT CIRCUIT TEMPERATURE= 250C.

cycle(Hz)	1	2	4	8	16	25	50	100
10 SQRT-M.M.¶	3.172	2.243	1.586	1.122	0.793	0.634	0.449	0.317
16 SQRT-M.M.¶	5.076	3.589	2.538	1.795	1.269	1.015	0.718	0.508
25 SQRT-M.M.¶	7.931	5.608	3.965	2.804	1.983	1.586	1.122	0.793
35 SQRT-M.M.¶	11.103	7.851	5.552	3.926	2.776	2.221	1.570	1.110
50 SQRT-M.M.¶	15.861	11.216	7.931	5.608	3.965	3.172	2.243	1.586
70 SQRT-M.M.¶	22.206	15.702	11.103	7.851	5.552	4.441	3.140	2.221
95 SQRT-M.M.¶	30.137	21.310	15.068	10.655	7.534	6.027	4.262	3.014
120 SQRT-M.M.¶	38.068	26.918	19.034	13.459	9.517	7.614	5.384	3.807
150 SQRT-M.M.¶	47.584	33.647	23.792	16.824	11.896	9.517	6.729	4.758
185 SQRT-M.M.¶	58.688	41.498	29.344	20.749	14.672	11.738	8.300	5.869
240 SQRT-M.M.¶	76.135	53.836	38.068	26.918	19.034	15.227	10.767	7.614
300 SQRT-M.M.¶	95.169	67.295	47.584	33.647	23.792	19.034	13.459	9.517
400 SQRT-M.M.¶	126.892	89.726	63.446	44.863	31.723	25.378	17.945	12.689
500 SQRT-M.M.¶	158.615	112.158	79.307	56.079	39.654	31.723	22.432	15.861

ตารางที่.3

SHORT CIRCUIT CURRENT - THOUSAND OF AMPERS

HOW DO YOUR SEE GRAPH !

:PRESS ANY KEY:

ALUMINUM CONDUCTOR WITH THERMOPLASTIC INSULATION

MAXIMUM OPERATING TEMPERATURE = 75C.

MAXIMUM SHORT CIRCUIT TEMPERATURE= 150C.

cycle(Hz)	1	2	4	8	16	25	50	100
10 SQRT-M.M.¶	2.337	1.652	1.168	0.826	0.584	0.467	0.330	0.234
16 SQRT-M.M.¶	3.739	2.644	1.869	1.322	0.935	0.748	0.529	0.374
25 SQRT-M.M.¶	5.842	4.131	2.921	2.066	1.461	1.168	0.826	0.584
35 SQRT-M.M.¶	8.179	5.783	4.090	2.892	2.045	1.636	1.157	0.818
50 SQRT-M.M.¶	11.684	8.262	5.842	4.131	2.921	2.337	1.652	1.168
70 SQRT-M.M.¶	16.358	11.567	8.179	5.783	4.090	3.272	2.313	1.636
95 SQRT-M.M.¶	22.200	15.698	11.100	7.849	5.550	4.440	3.140	2.220
120 SQRT-M.M.¶	28.042	19.829	14.021	9.914	7.011	5.608	3.966	2.804
150 SQRT-M.M.¶	35.053	24.786	17.526	12.393	8.763	7.011	4.957	3.505
185 SQRT-M.M.¶	43.232	30.570	21.616	15.285	10.808	8.646	6.114	4.323
240 SQRT-M.M.¶	56.085	39.658	28.042	19.829	14.021	11.217	7.932	5.608
300 SQRT-M.M.¶	70.106	49.572	35.053	24.786	17.526	14.021	9.914	7.011
400 SQRT-M.M.¶	93.475	66.096	46.737	33.048	23.369	18.695	13.219	9.347
500 SQRT-M.M.¶	116.843	82.621	58.422	41.310	29.211	23.369	16.524	11.684

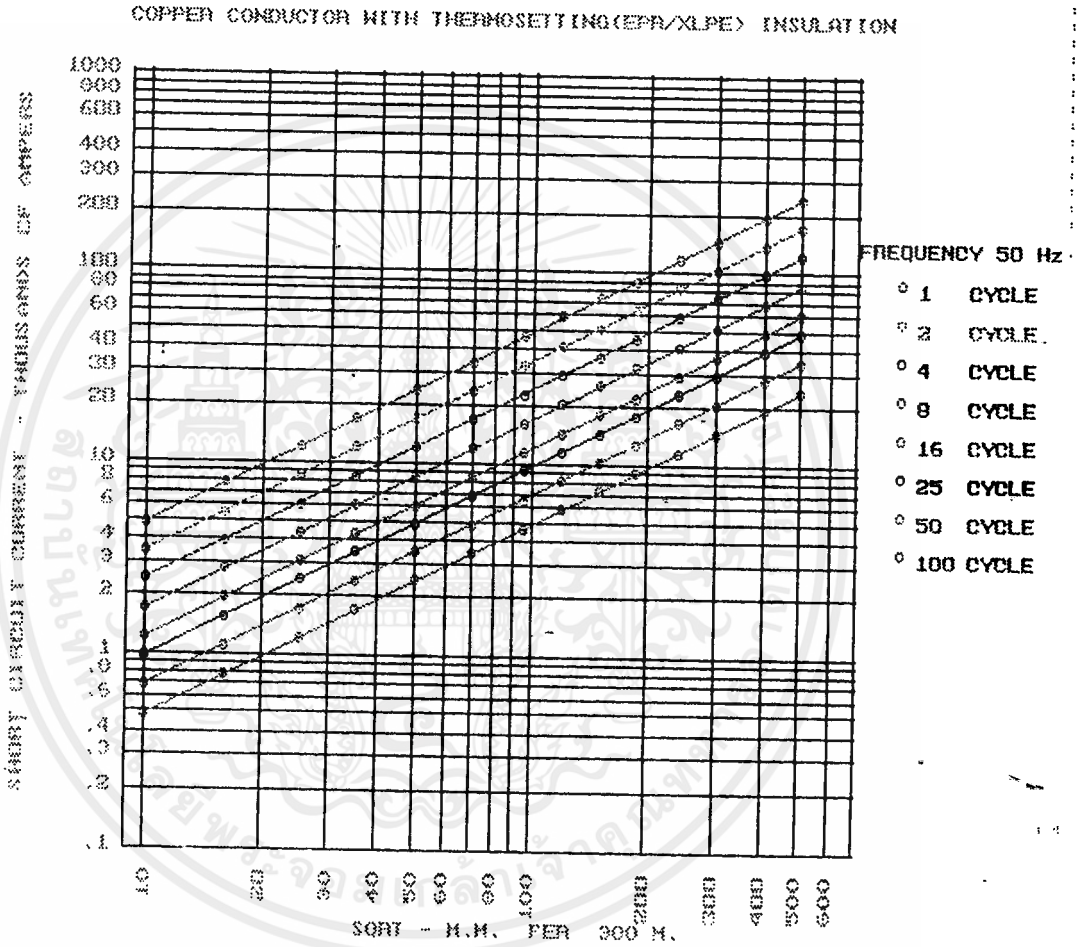
ตารางที่.4

SHORT CIRCUIT CURRENT - THOUSAND OF AMPERS

HOW DO YOUR SEE GRAPH !

:PRESS ANY KEY:

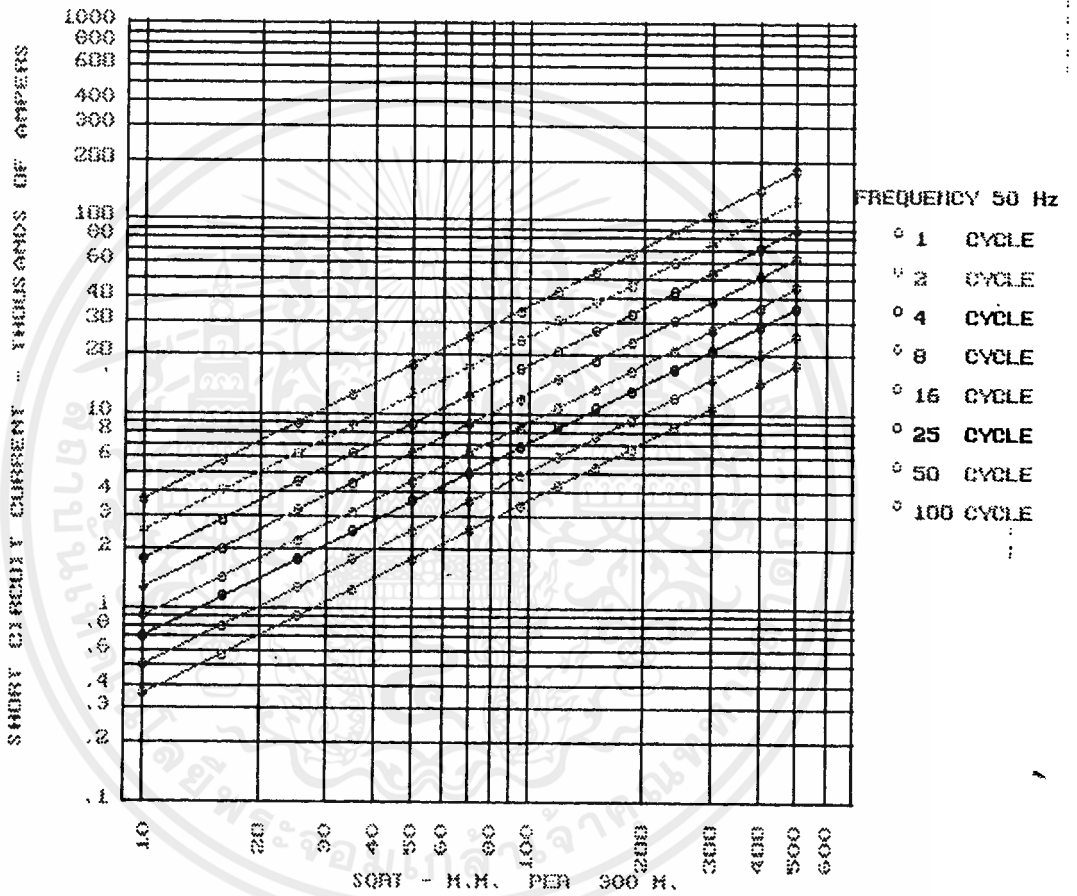
เอกสารนี้เป็นเอกสารที่สงวนไว้สำหรับการใช้งานเพื่อการศึกษาเท่านั้น ไม่อนุญาตให้นำไปใช้ประโยชน์ด้านการค้า
ไม่ว่ากรณีใดๆ ทั้งสิ้น อีกทั้งห้ามมิให้คัดแปลงเนื้อหาและต้องอ้างอิงถึงเจ้าของเอกสารทุกครั้งที่มีการนำไปใช้



รูปที่ 3.1

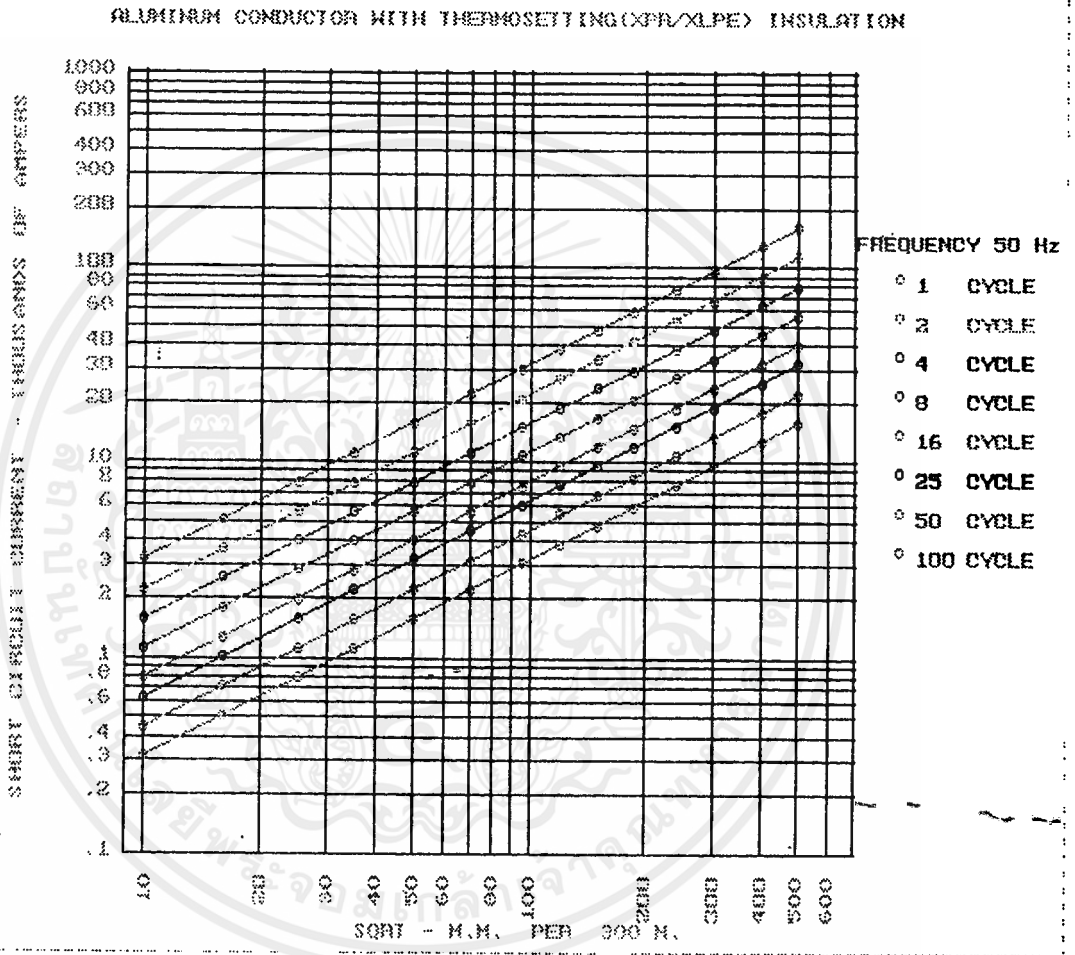
เอกสารนี้เป็นเอกสารที่สงวนไว้สำหรับการใช้งานเพื่อการศึกษาเท่านั้น ไม่อนุญาตให้นำไปใช้ประโยชน์ด้านการค้า
ไม่ว่ากรณีใดๆ ทั้งสิ้น อีกทั้งห้ามมิให้ดัดแปลงเนื้อหาและต้องอ้างอิงถึงเจ้าของเอกสารทุกครั้งที่มีการนำไปใช้

COPPER CONDUCTOR WITH THERMOPLASTIC INSULATION



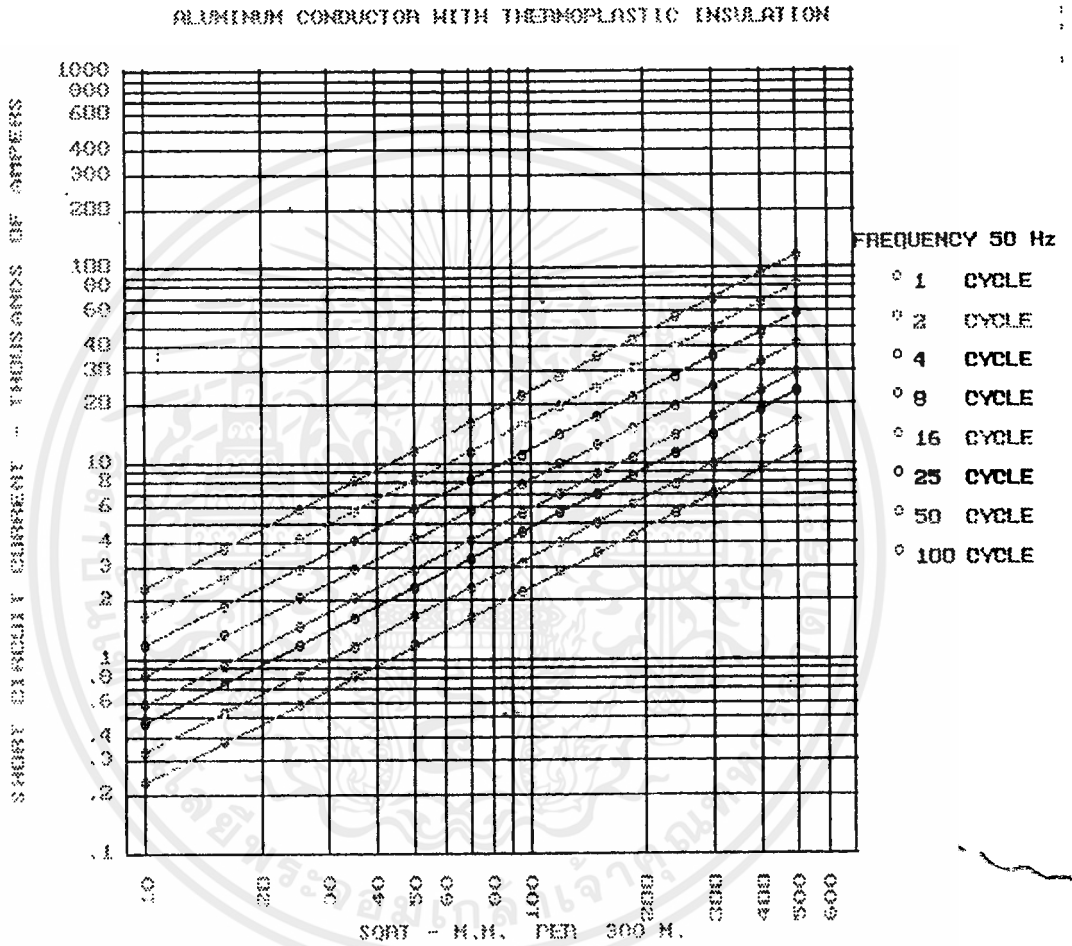
รูปที่ 3.2

เอกสารนี้เป็นเอกสารที่สงวนไว้สำหรับการใช้งานเพื่อการศึกษาเท่านั้น ไม่อนุญาตให้นำไปใช้ประโยชน์ด้านการค้า ไม่ว่ากรณีใดๆ ทั้งสิ้น อีกทั้งห้ามมิให้ดัดแปลงเนื้อหาและต้องอ้างอิงถึงเจ้าของเอกสารทุกครั้งที่มีการนำไปใช้



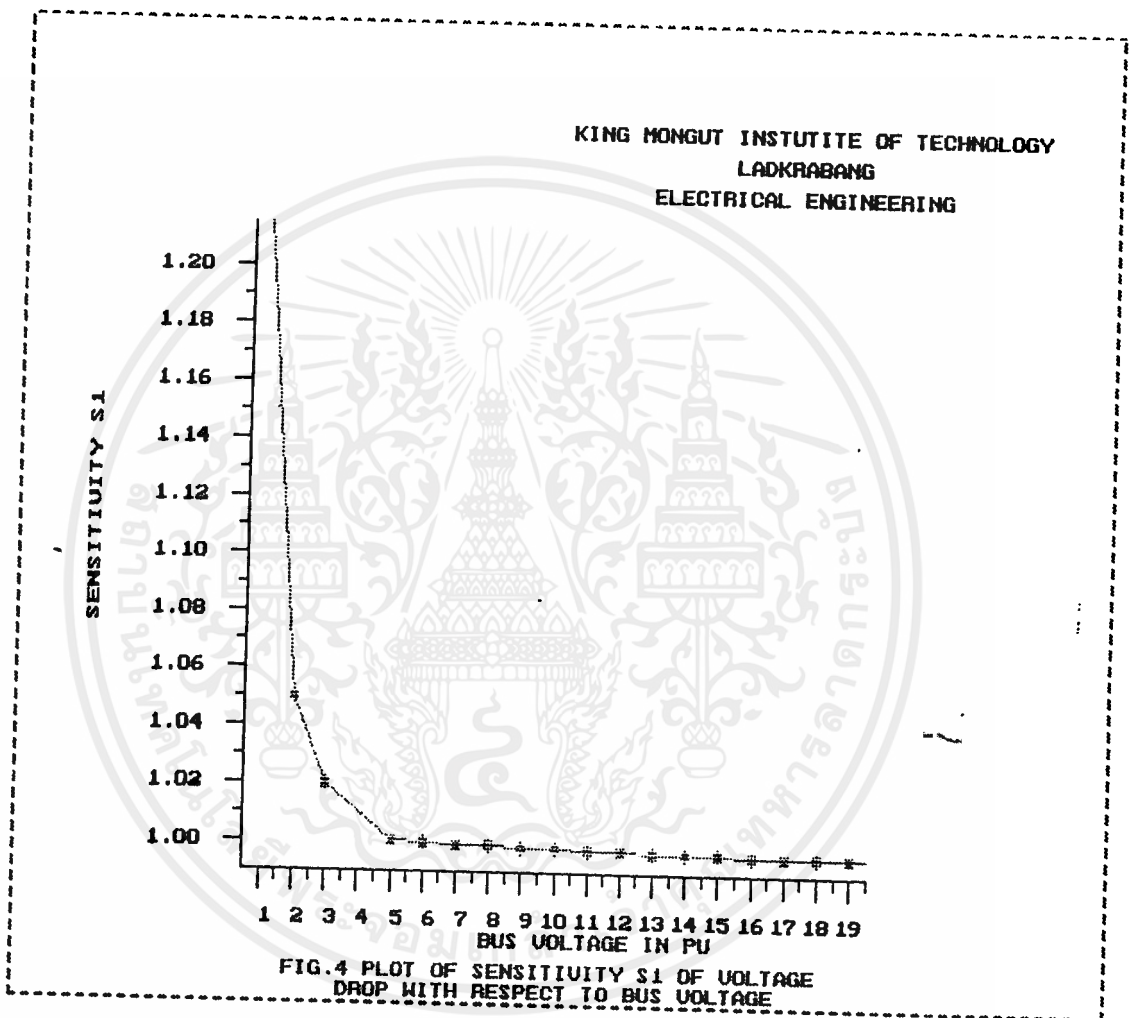
รูปที่ 3.3

เอกสารนี้เป็นเอกสารที่สงวนไว้สำหรับการใช้งานเพื่อการศึกษาเท่านั้น ไม่อนุญาตให้นำไปใช้ประโยชน์ด้านการค้า ไม่ว่าจะกรณีใดๆ ทั้งสิ้น อีกทั้งห้ามมิให้ดัดแปลงเนื้อหาและต้องอ้างอิงถึงเจ้าของเอกสารทุกครั้งที่มีการนำไปใช้



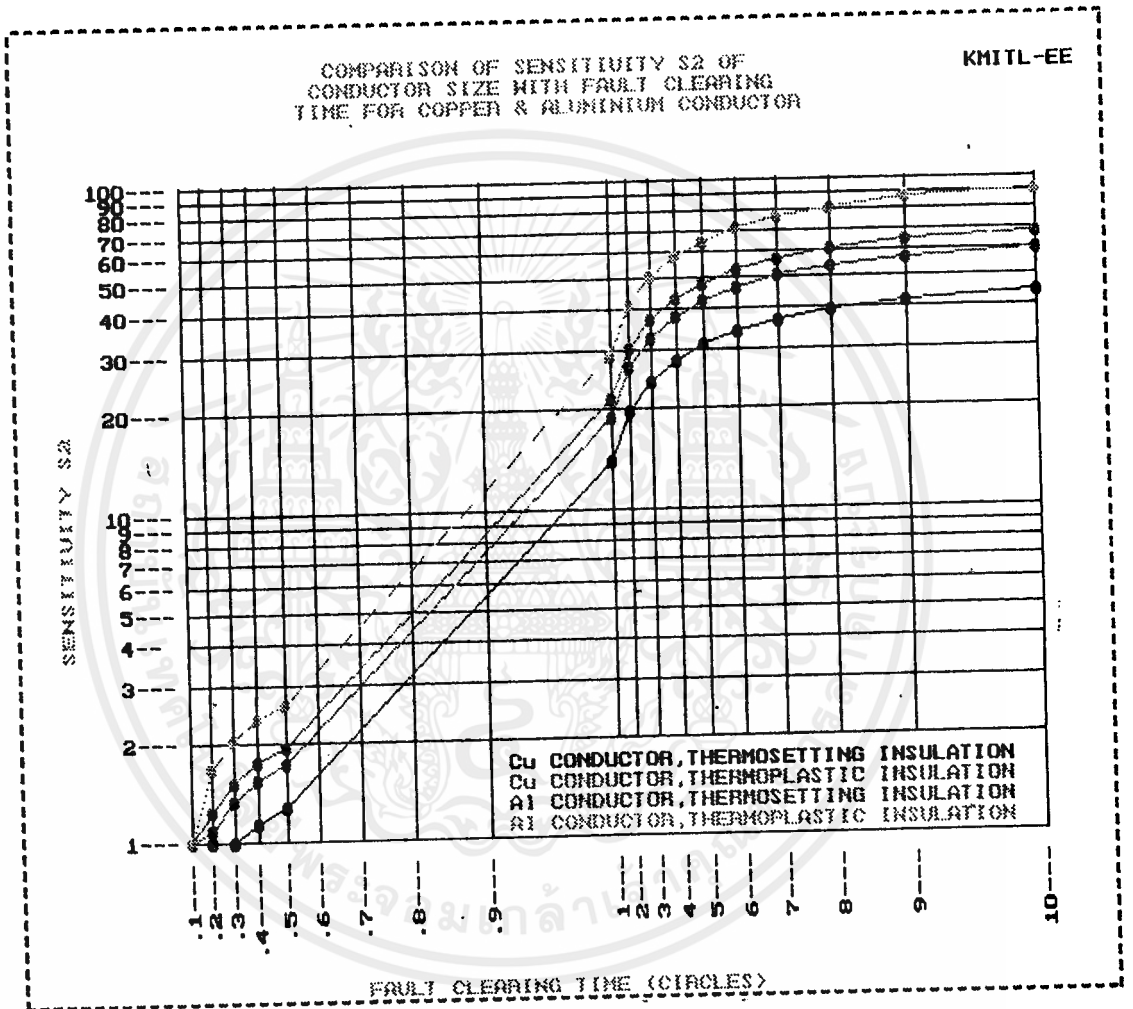
รูปที่ 3.4

เอกสารนี้เป็นเอกสารที่สงวนไว้สำหรับกรใช้งานเพื่อการศึกษาเท่านั้น ไม่อนุญาตให้นำไปใช้ประโยชน์ด้านการค้า ไม่ว่าจะกรณีใดๆ ทั้งสิ้น อีกทั้งห้ามมิให้ดัดแปลงเนื้อหาและต้องอ้างอิงถึงเจ้าของเอกสารทุกครั้งที่มีการนำไปใช้



รูปที่ 4.

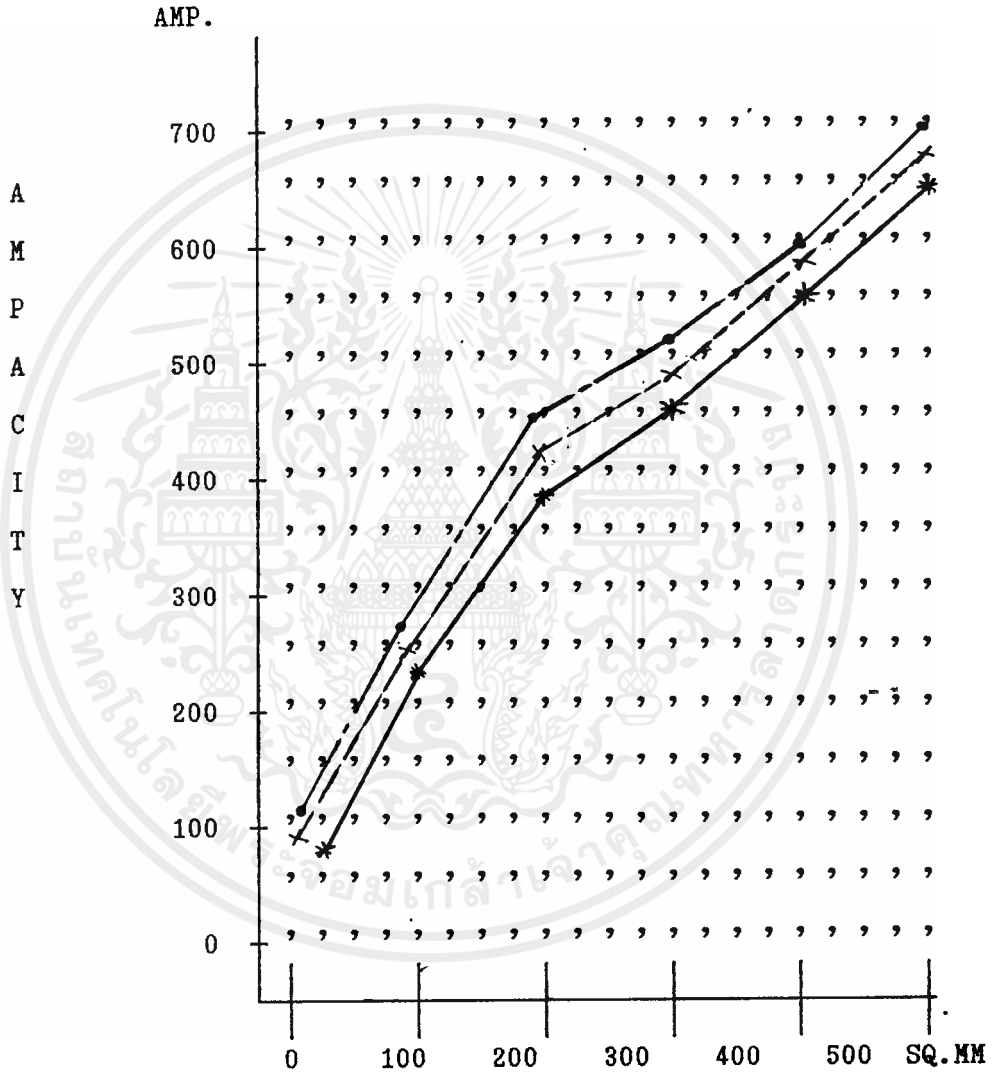
เอกสารนี้เป็นเอกสารที่สงวนไว้สำหรับการใช้งานเพื่อการศึกษาเท่านั้น ไม่อนุญาตให้นำไปใช้ประโยชน์ด้านการค้า
ไม่ว่ากรณีใดๆ ทั้งสิ้น อีกทั้งห้ามมิให้ตัดแปลงเนื้อหาและต้องอ้างอิงถึงเจ้าของเอกสารทุกครั้งที่มีการนำไปใช้



รูปที่ 5.

เอกสารนี้เป็นเอกสารที่สงวนไว้สำหรับการใช้งานเพื่อการศึกษาเท่านั้น ไม่อนุญาตให้นำไปใช้ประโยชน์ด้านการค้า ไม่ว่ากรณีใดๆ ทั้งสิ้น อีกทั้งห้ามมิให้ดัดแปลงเนื้อหาและต้องอ้างอิงถึงเจ้าของเอกสารทุกครั้งที่มีการนำไปใช้

- * AMPACITY IN CABLE TRAY
- + AMPACITY IN CONDUIT
- # AMPACITY IN UNDER GROUND DUCT



รูปที่. 6

กราฟแสดงพื้นที่หน้าตัดต่อกระแสกับสถานะการติดตั้ง[จากตาราง5-7]

เอกสารนี้เป็นเอกสารที่สงวนไว้สำหรับการใช้งานเพื่อการศึกษาเท่านั้น ไม่อนุญาตให้นำไปใช้ประโยชน์ด้านการค้า ไม่ว่ากรณีใดๆ ทั้งสิ้น อีกทั้งห้ามมิให้ดัดแปลงเนื้อหาและต้องอ้างอิงถึงเจ้าของเอกสารทุกครั้งที่มีการนำไปใช้

บทที่ 4. บทวิจารณ์และสรุป

การคำนวณค่าต่าง ๆ ของการออกแบบทางไฟฟ้า มีหลักสำคัญในการออกแบบสำหรับระบบไฟฟ้าแรงต่ำและระบบไฟฟ้าขนาดกลางคือ

การรับภาระกระแส

ระดับของแรงเคลื่อนไฟฟ้า

การลัดวงจรไฟฟ้า

สำหรับ สายไฟฟ้าที่เป็นตัวรองรับกระแส ขนาดของมัน สามารถหาได้จากความไว (S_1 , S_2)

การคำนวณเราได้เปรียบเทียบกับตัวนำที่ทำมาจาก ทองแดง และ อลูมิเนียม เราสามารถรู้ว่า ทองแดง เหมาะสมกับการนำไปใช้เป็นสายส่งพลังงานทั้งนี้เพราะให้ค่า รับกระแสสูงสุด ที่สูงกว่า และให้ค่าโวลต์เตจเรกกูเรชั่นที่ต่ำกว่า

การเลือกใช้ ทองแดง เป็นตัวนำไฟฟ้า สำหรับการส่งจ่ายพลังงานที่เหมาะสมคือ

3.1) ขนาดของตัวนำสำหรับแรงเคลื่อนที่ต่ำกว่า 600 โวลต์

3.1.1.) ทองแดงให้ค่า แอมแปร์ได้สูงกว่า

3.1.2.) ทองแดงให้ค่า โวลต์เตจเรกกูเรชั่น ต่ำกว่า

3.2) ขนาดของตัวนำสำหรับแรงเคลื่อนที่สูงกว่า 600 โวลต์

3.2.1.) ทองแดงให้ค่า แอมแปร์ได้สูงกว่า

3.2.2.) ทองแดงต้องการขนาด พื้นที่ตัดขวางของตัวนำที่เล็กกว่าสำหรับการกำหนดกระแสลัดวงจร

หนดกระแสลัดวงจร

สำหรับ ตัวนำอลูมิเนียม มักจะใช้มากในงานสายส่งกำลังในอากาศจะให้ประโยชน์เมื่อ

ก.) น้ำหนักเบา คือปัจจัยสำคัญ

ข.) ขนาดของพื้นที่หน้าตัดมีความสำคัญน้อยมาก

ค.) ขนาดใหญ่ของตัวนำ นำมาซึ่งประโยชน์เรื่อง ราคา แต่เป็นการยาก และต้องพิจารณาให้ถี่ตรงรอยต่อ และตรงจุดสิ้นสุดของสายอลูมิเนียม

การพันเป็นเกลียวหรือซ้อนกันของตัวนำ ทำขึ้นเพื่อให้ช่วงต่อกันให้มีเส้นผ่านศูนย์กลางมีขนาดเล็กลง และทำให้ผิวเรียบ แต่อย่างไรก็ตาม ดันทุนยังเป็นปัจจัยทาง เศรษฐกิจที่สำคัญ ในการเลือกระหว่างทองแดงและอลูมิเนียม

ภาคผนวก

รายการคำนวณระบบไฟฟ้า
โครงการอาคารพักอาศัย 11 ชั้น
ซอยวัฒนธรรม ถนนราชปรารภ กทม.

1. การคำนวณภาระไฟฟ้า

1.1 ส่วนห้องชุด

1.1.1 แผง PP2

- แผง PP2 จ่ายห้องชุดชนิด A จำนวน 12 ห้อง และห้องชุดชนิด B จำนวน 4 ห้อง
- ห้องชุดชนิด A พท. 20 ตร.ม. 1 ห้องน้ำ Demand Load 3300 VA
- ห้องชุดชนิด B พท. 27.7 ตร.ม. 1 ห้องน้ำ Demand Load 3993 VA
- คิดค่า Co-Incident Factor ตามกฎ กฟน. จะได้ Co-Incident Load =
48,034.8 VA Feeder 4-50, 1-10, 2" CB 100AT/100AF 3P

1.1.2 แผง PP4, PP6 เหมือน 1.1.1

1.1.3 แผง PP8

- แผง PP8 จ่ายห้องชุดชนิด A จำนวน 6 ห้อง ห้องชุดชนิด B จำนวน 2 ห้อง,
ห้องชุดชนิด C จำนวน 2 ชุด และห้องชุดชนิด D จำนวน 2 ชุด
- ห้องชุดชนิด A พท. 20 ตร.ม. 1 ห้องน้ำ Demand Load 3300 VA
- ห้องชุดชนิด B พท. 27.7 ตร.ม. 1 ห้องน้ำ Demand Load 3993 VA
- ห้องชุดชนิด C พท. 40 ตร.ม. 1 ห้องน้ำ Demand Load 5100 VA
- ห้องชุดชนิด D พท. 47.7 ตร.ม. 1 ห้องน้ำ Demand Load 5793 VA
- คิด Co-Incident Factor ตามกฎ กฟน. จะได้ Co-Incident Load =
43954.8 VS Feeder 4-50, 1-10, 2" CB 100AT/100AF 3P

1.1.4 แผง PP10

- แผง PP10 จ่ายห้องชุดชนิด C จำนวน 4 ห้อง ห้องชุดชนิด D จำนวน 4 ห้อง
- ห้องชุดชนิด C พท. 40 ตร.ม. 1 ห้องน้ำ Demand Load 5100 VA
- ห้องชุดชนิด D พท. 47.7 ตร.ม. 1 ห้องน้ำ Demand Load 5793 VA
- คิดค่า Co-Incident Factor ตามกฎ กฟน. จะได้ Co-Incident Load =
39214.8 VA Feeder 4-50, 1-10, 2" CB 100AT/100AF 3P

1.1.5 รวมส่วนของห้องชุด

- ส่วนของห้องชุดทั้งหมด ประกอบด้วยห้องชุดชนิด A จำนวน 42 ห้อง, ห้องชุดชนิด B

จำนวน 14 ชุด, ห้องชุดชนิด C จำนวน 6 ชุด และห้องชุดชนิด D จำนวน 6 ชุด
คิด Co-Incident Load

$$\text{-ห้องชุดที่ 1-10} \times 0.9 ; (6D + 4C) \times 0.9$$

$$= 55,158 \times 0.9 = 49,642.2 \text{ VA}$$

$$\text{-ห้องชุดที่ 11-20} \times 0.8 ; (2C + 8B) \times 0.8$$

$$= 42,144 \times 0.8 = 33,715.2 \text{ VA}$$

$$\text{-ห้องชุดที่ 21-30} \times 0.7 ; (6B + 4A) \times 0.7$$

$$= 37,158 \times 0.7 = 26,010.6 \text{ VA}$$

$$\text{-ห้องชุดที่ 31-40} \times 0.6 ; (10A) \times 0.6$$

$$= 33,000 \times 0.6 = 19,800 \text{ VA}$$

$$\text{-ห้องชุดที่ 41 ขึ้นไป} \times 0.5 ; (28A) \times 0.5$$

$$= 46,200 \times 0.5 = 23,100 \text{ VA}$$

$$\text{-รวม Co-Incident Load} = 152,268 \text{ VA}$$

1.2 ส่วนกลาง

1.2.1 แสงสว่างส่วนกลาง	8,280	VA
1.2.2 สำรองสำหรับห้องเอนกประสงค์	20,160	VA
1.2.3 แผง SMCC จ่ายปั้มน้ำประปา, บ่อน้ำบาด	31,290	VA
1.2.4 ลิฟท์	50,000	VA
รวมภาระไฟฟ้าส่วนกลาง	109,730	VA

1.3 ภาระไฟฟ้าทั้งหมด

$$\text{-รวมความต้องการภาระไฟฟ้าส่วนห้องชุดและส่วนกลางทั้งหมด} = 261,998 \text{ VA}$$

$$\text{-ขนาดหม้อแปลง} = 1.25 \times 261,998 \text{ VA}$$

$$= 327,497.50 \text{ VA}$$

เลือกขนาดหม้อแปลง 500 KVA

2. การคำนวณค่ากระแสลัดวงจร

สูตรการคำนวณลัดวงจร

2.1 กรณีกำหนดขนาดและ IMPEDANCE VOLTAGE หม้อแปลง

$$\text{TOTZ} - \text{IMPEDANCE VOLTAGE} \quad (\text{เปอร์เซ็นต์})$$

$$\text{ISCAMP} - \text{กระแสลัดวงจร} \quad (\text{แอมแปร์})$$

เอกสารนี้เป็นเอกสารที่สงวนลิขสิทธิ์การใช้งานเพื่อการศึกษาเท่านั้น ไม่อนุญาตให้นำไปใช้ประโยชน์ในการค้า
ไม่ว่ากรณีใดๆ ทั้งสิ้น อีกทั้งห้ามมิให้ดัดแปลงเนื้อหาและต้องอ้างอิงถึงเจ้าของเอกสารทุกครั้งที่มีการนำไปใช้

ISCPU - กระแสลัดวงจร (เปอร์เซ็นต์)
 BASEA - กระแสฐาน (แอมแปร์)

กระแสลัดวงจรเป็นเปอร์เซ็นต์

$$ISCPU = 1/TOTZ$$

กระแสลัดวงจรเป็นแอมแปร์

$$ISCAMP = BASEA \times ISCPU$$

2.2 กรณีกำหนดขนาดกระแสลัดวงจรต้นทางสาย และหา IC ที่ปลายสาย

ZSTART - อิมพีแดนซ์ต้นทาง (เปอร์เซ็นต์)

IC - ขนาดกระแสลัดวงจรต้นทาง (KA)

R - ความต้านทานสาย

X - รีแอกแตนซ์ของสาย

TOTZ - อิมพีแดนซ์รวม

BASEZ - อิมพีแดนซ์ฐาน

กระแสลัดวงจรที่ปลายสาย

$$ZSTART = 1./((IC \times 1000)/BASE A)$$

$$TOTZ = \sqrt{((R/BASE Z)^2 + ((X/BASE Z) + ZSTART)^2)}$$

$$ISCAMP = BASE A \times (1/TOTZ)$$

ตัวอย่างการคำนวณกระแสลัดวงจร

คำนวณกระแสลัดวงจรหลังหม้อแปลง

หม้อแปลง 500 KVA 12/24 KV PRI. 416/240 V SEC. 4% IMP. VOLT

$$\text{กระแสฐาน} = 500 / (1.732 \times 0.380) = 759.69 \text{ A}$$

$$\text{กระแสลัดวงจร} = 759.69 / 0.04 = 18,992 \text{ A}$$

คำนวณกระแสลัดวงจรที่แผงเมน MDB

$$\text{ระยะทางจากหม้อแปลงถึงแผง MDB} = 31 \text{ ม.}$$

$$\text{กระแสลัดวงจรต้นทาง} = 18,992 \text{ A.}$$

$$\text{ขนาดสาย} = 185 \text{ มม.}^2 \text{ 2 ชุด}$$

$$\text{อิมพีแดนซ์สาย} = (0.0012 + j0.000134) / 2 \text{ โอห์ม/ม.}$$

$$\text{อิมพีแดนซ์สาย 2 ชุด 31 ม.} = 0.00186 + j0.002077$$

$$\text{อิมพีแดนซ์ฐาน} = KV^2 / MVA = (0.38)^2 / 0.5 = 0.2888$$

$$\text{อิมพีแดนซ์รวม} = \sqrt{((R/BASEZ)^2 + ((X/BASEZ) + 1/((IC \times 1000)/\text{กระแสฐาน}))^2}$$

$$= \sqrt{((0.00186/0.288)^2 + ((0.002077/0.288) + 1/((18,992 \times 1000)/759.69))^2}$$

ไม่ว่ากรณีใดๆ ทั้งสิ้น อีกทั้งห้ามมิให้ตัดแปลงเนื้อหาและต้องอ้างอิงถึงเจ้าของเอกสารทุกครั้งที่มีการนำไปใช้

24

$$= \sqrt{(4.148 \times 10^{-5} + 2.227 \times 10^{-3})}$$

$$= 0.047628$$

กระแสลัดวงจร

$$= 759.69 \times (1/0.047628)$$

$$= 15950 \text{ A}$$

จากสูตร, ค่าอิมพีแดนซ์ และตัวอย่างการคำนวณข้างต้น จะได้ค่าผลลัพธ์ของจุดต่าง ๆ โดยการใช้ Computer คำนวณตามข้อมูลต่าง ๆ ดังต่อไปนี้

ต้นทาง	IC ต้นทาง (KA)	ปลายทาง	ขนาดตัวนำ (mm. ²)	ระยะทาง (ม.)	IC ปลายทาง (KA)
MDB-F1	15.95	PP2	50	3.5	15.26
MDB-F2	15.95	PP4	50	10	13.74
MDB-F3	15.95	PP6	50	17	12.08
MDB-F4	15.95	PP8	50	23	10.79
MDB-F5	15.95	PP10	50	30	9.50
MDB-F6	15.95	DB FOR LIFT	50	40	8.04
MDB-F7	15.95	LC1	25	2	15.45
MDB-F8	15.95	LC7	25	20	8.92
MDB-F9	15.95	CB	25	25	5.72

3. การคำนวณค่าศักดาไฟฟ้าตก

จากสูตรที่ได้กล่าวมาคำนวณศักดาไฟฟ้าตกในสายขนาด 50 มม² ไปจ่ายแผง PP10 ที่ชั้น 10 ซึ่ง
มีระยะทางจาก MDB ทั้งหมด 30 ม.

$$\begin{aligned} \text{ศักดาไฟฟ้าตก} &= 30 \times I \times R + jX \times I \\ &= 30 \times 0.000471 + j0.000150 \times 100 \\ &= 1.4818 \text{ โวลท์} \\ &= (1.4818 \times 100) / 220 = 0.6735 \% \end{aligned}$$

เอกสารนี้เป็นเอกสารที่สงวนไว้สำหรับการใช้งานเพื่อการศึกษาเท่านั้น ไม่อนุญาตให้นำไปใช้ประโยชน์ด้านการค้า
ไม่ว่ากรณีใดๆ ทั้งสิ้น อีกทั้งห้ามมิให้ดัดแปลงเนื้อหาและต้องอ้างอิงถึงเจ้าของเอกสารทุกครั้งที่มีการนำไปใช้

จากสูตร, ค่าอิมพีแดนซ์ และตัวอย่างการคำนวณข้างต้น จะได้ผลลัพธ์ของจุดต่าง ๆ โดยการไว้ Computer คำนวณตามข้อมูลต่าง ๆ ดังต่อไปนี้

3.1 Feeder MDB-F1 ขนาดสาย 50 มม.² จำย PP2 ระยะทาง = 3.5 ม.

$$\begin{aligned} \text{ค่าศักดาไฟฟ้าตก} &= 0.17 \quad \text{โวลท์} \\ &= 0.08 \% \end{aligned}$$

3.2 Feeder MDB-F5 ขนาดสาย 50 มม.² จำย PP10 ระยะทาง 30 ม.

$$\begin{aligned} \text{ค่าศักดาไฟฟ้าตก} &= 1.48 \quad \text{โวลท์} \\ &= 0.67 \% \end{aligned}$$

3.3 Feeder MDB-F7 ขนาดสาย 50 มม.² จำย DB FOR LIFT ระยะทาง 40 ม.

$$\begin{aligned} \text{ค่าศักดาไฟฟ้าตก} &= 1.50 \quad \text{โวลท์} \\ &= 0.68 \% \end{aligned}$$

3.4 Feeder MDB-F8 ขนาดสาย 25 มม.² จำย CB ชั้นหลังคา ระยะทาง 37 ม.

$$\begin{aligned} \text{ค่าศักดาไฟฟ้าตก} &= 1.66 \quad \text{โวลท์} \\ &= 0.76 \% \end{aligned}$$

Capacity for conductor/cable installed in tray or ladder.

Note 1. This Table is applicable for conductor/cable types PD-IV, PD-THW and PD-NYY and PD-NYY (1/C). Conditions of installation are as listed.

Note 2. - 40 °C ambient, 70 °C conductor.
- 100% Load factor.

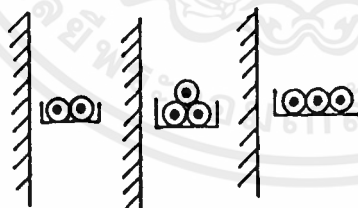
Conductor Size Sq.mm.	2 single Conductors touching	3 single Conductors trefoil	3 single Conductors touching
6	46	37	39
10	64	52	55
16	86	71	74
25	114	96	99
35	141	119	124
50	171	145	151
70	218	188	196
95	264	230	239
120	306	267	278
150	353	310	323
185	403	354	371
240	475	419	438
300	547	484	506
400	656	578	607
500	755	659	693

Condition of Installation.

- Single core cables installed touching in tray or ladder in free air.
- Tray can be perforated or unperforated. Perforated tray shall have a regular pattern of holes occupying not less than 30% of the surface area. For ladder, the metal work under the cables must occupy less than 10% of the plan area.
- Clearance to wall not less than 20 mm.
- Vertical space between trays not less than 300 mm.

TEMPERATURE CORRECTION FACTOR

Degree C.	Multiplying Factor
20	1.291
25	1.225
30	1.155
35	1.080
45	0.913
50	0.816
55	0.707
60	0.577



ตารางที่ 5 ค่ากระแสของตัวนำที่วางในราง

Ampacity for conductor/cable installed in ground, 30 °C ambient, 70 °C conductor

Note 1. This Table is applicable for conductor/cable types PD-IV, PD-THW, PD-VAF and PD-NYY where installed in duct in ground and for PD-NYY for direct burial.

Note 2. Soil thermal resistivity = 1.0 K.M/W., 100% Load factor (LF).

CAPACITY FOR MEA'S INSTALLATION REGULATION

IEC NO. 364-5-523

Ampacity for 70 cm. depth.

- Multicore Cable in ducts in ground.
- Single Core Cable in ducts in ground.
- Single and multicore cables direct in ground.

Conductor Size Sq.mm.	Diameter of Conductor (mm)	3-1C in RSC 15 cm Depth.	3C in HDPE 15 cm Depth.	3C in HDPE pipe 45 cm Depth.	3 C Direct buried 60 cm. Depth.	70 cm. Depth.	
						2 cores	3 cores
1	1.13	17	15	14	20	19	16
1	1.20	17	15	14	21	19	16
1.5	1.38	22	19	17	25	24	20
1.5	1.50	22	19	17	26	24	20
2.5	1.78	28	25	22	33	33	26
2.5	2.01	29	25	23	34	33	26
4	2.25	37	33	29	43	43	35
4	2.55	38	34	30	44	43	35
6	3.12	47	42	37	56	53	44
10	4.05	63	58	50	74	70	57
16	5.10	83	76	67	95	90	75
25	6.42	108	102	88	124	116	96
35	7.65	133	125	107	150	139	115
50	8.90	158	150	129	176	165	136
70	10.70	197	190	161	218	204	167
95	12.60	244	235	197	261	240	199
120	14.21	284	270	228	296	274	226
150	15.75	325	307	258	333	309	256
185	17.64	370	353	297	375	348	286
240	20.25	440	420	347	436	400	330
300	22.68	510	487	396	489	453	374
400	25.65	589					
500	28.80	683					
		TIS 11-2531 Table 6	TIS 11-2531 Table 7	TIS 11-2531 Table 7	TIS 11-2531 Table 7	Applied for LF = 1.0	Applied for LF = 1.0

ตารางที่ 6 ค่ากระแสของตัวนำที่วางใต้พื้นผิว

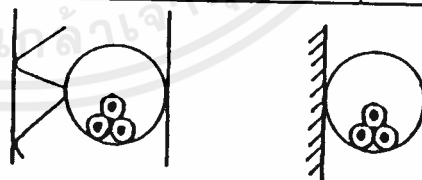
เอกสารนี้เป็นเอกสารที่สงวนไว้สำหรับการใช้งานเพื่อการศึกษาเท่านั้น ไม่อนุญาตให้นำไปใช้ประโยชน์ด้านการค้า
ไม่ว่ากรณีใดๆ ทั้งสิ้น อีกทั้งห้ามมิให้ตัดแปลงเนื้อหาและต้องอ้างอิงถึงเจ้าของเอกสารทุกครั้งที่มีการนำไปใช้

Capacity for conductor/cable in conduit.

Note 1. This Table is applicable for conductor/cable types XHHW (Copper conductor, XLPE insulation) installed in conduit or other closed raceway in wall or on wall in air

Note 2. - Conditions of installation are as listed.
- 40 °C ambient, 90 °C conductor.
- 100% Load factor.

Conductor Size Sq.mm.	Condition A		Condition B	
	2 loaded conductors	3 loaded conductors	2 loaded conductors	3 loaded conductors
2.5	24	21	28	25
4	32	28	38	34
6	41	36	49	44
10	56	49	67	60
16	74	66	91	81
25	96	86	121	106
35	119	106	149	131
50	144	128	180	159
70	182	163	231	202
95	219	197	278	245
120	253	227	322	284
150	289	259	370	326
185	329	295	422	371
240	386	346	497	438
300	442	396	571	504
400	529	468	684	603
500	607	537	786	692



ตารางที่ 7 ค่าของตัวนำที่อยู่ในท่อร้อยสายไฟ

เอกสารนี้เป็นเอกสารที่สงวนไว้สำหรับการใช้งานเพื่อการศึกษาเท่านั้น ไม่อนุญาตให้นำไปใช้ประโยชน์ด้านการค้าไม่ว่ากรณีใดๆ ทั้งสิ้น อีกทั้งห้ามมิให้ดัดแปลงเนื้อหาและต้องอ้างอิงถึงเจ้าของเอกสารทุกครั้งที่มีการนำไปใช้

VOLTAGE DROP
CONDUCTOR TYPE PD-IV AND PD-THW RUN IN METALLIC CONDUIT

CONDUCTOR CROSS SECTION SQMM.	AC(H) RESISTANCE AT 70° C IN METALLIC CONDUIT Ω/KM	INDUCTIVE REACTANCE X IN METALLIC CONDUIT Ω/KM	Three phase effective resistance per unit length $\sqrt{3}(r\cos\theta + X\sin\theta)$ at 70° c various power factor Ω/KM				
			1.00 Ω/KM	0.95 Ω/KM	0.90 Ω/KM	0.85 Ω/KM	0.80 Ω/KM
2.5	8.8658	0.1949	15.3560	14.6936	13.9676	13.2304	12.4874
4	5.5157	0.1811	9.5535	9.1737	8.7349	8.2857	7.8310
6	3.6851	0.1735	6.3828	6.1575	5.8755	5.5837	5.2865
10	2.1895	0.1768	3.7923	3.6983	3.5466	3.3848	3.2176
16	1.3759	0.1712	2.3831	2.3566	2.2741	2.1819	2.0844
25	0.8698	0.1621	1.5065	1.5189	1.4783	1.4285	1.3737
35	0.6332	0.1558	1.0967	1.1262	1.1047	1.0744	1.0393
50	0.4723	0.1533	0.8180	0.8601	0.8520	0.8352	0.8138
70	0.3303	0.1468	0.5721	0.6229	0.6257	0.6202	0.6102
95	0.2425	0.1409	0.4200	0.4751	0.4842	0.4854	0.4822
120	0.1940	0.1412	0.3360	0.3956	0.4090	0.4144	0.4156
150	0.1587	0.1397	0.2749	0.3367	0.3529	0.3611	0.3651
185	0.1281	0.1359	0.2219	0.2843	0.3023	0.3126	0.3187
240	0.1019	0.1319	0.1765	0.2390	0.2584	0.2704	0.2783
300	0.0834	0.1312	0.1445	0.2082	0.2291	0.2425	0.2519

ตารางที่ 8 แรงเคลื่อนตกในท่อร้อยสายไฟ(3เฟส)

เอกสารนี้เป็นเอกสารที่สงวนไว้สำหรับการใช้งานเพื่อการศึกษาเท่านั้น ไม่อนุญาตให้นำไปใช้ประโยชน์ด้านการค้า
 ไม่ว่ากรณีใดๆ ทั้งสิ้น อีกทั้งห้ามมิให้คัดลอกเนื้อหาและต้องอ้างอิงถึงเจ้าของเอกสารทุกครั้งที่มีการนำไปใช้

VOLTAGE DROP
CONDUCTOR TYPE PD-IV AND PD-THW RUN IN METALLIC CONDUIT

CONDUCTOR CROSS SECTION SQMM.	AC(r) RESISTANCE AT 75° C IN METALLIC CONDUIT Ω/KM	INDUCTIVE REACTANCE X IN METALLIC CONDUIT Ω/KM	Single phase effective resistance per unit length 2 (rcosθ + Xsinθ) at 75° c various power factor - - - Ω/KM				
			1.00	0.95	0.90	0.85	0.80
			Ω/KM	Ω/KM	Ω/KM	Ω/KM	Ω/KM
2.5	8.8658	0.1949	17.7316	16.9667	16.1283	15.2772	14.4192
4	5.5157	0.1811	11.0314	10.5929	10.0861	9.5675	9.0424
6	3.8851	0.1735	7.3702	7.1100	6.7844	6.4475	6.1044
10	2.1895	0.1768	4.3790	4.2705	4.0952	3.9084	3.7154
16	1.3759	0.1712	2.7518	2.7211	2.6259	2.5194	2.4069
25	0.8698	0.1621	1.7398	1.7539	1.7070	1.6494	1.5862
35	0.6332	0.1558	1.2664	1.3004	1.2757	1.2406	1.2001
50	0.4723	0.1533	0.9446	0.9931	0.9838	0.9644	0.9396
70	0.3303	0.1468	0.6606	0.7192	0.7225	0.7162	0.7046
95	0.2425	0.1409	0.4850	0.5486	0.5592	0.5605	0.5568
120	0.1940	0.1412	0.3880	0.4568	0.4723	0.4786	0.4798
150	0.1587	0.1397	0.3174	0.3888	0.4074	0.4170	0.4216
185	0.1281	0.1359	0.2562	0.3283	0.3491	0.3609	0.3680
240	0.1019	0.1319	0.2038	0.2760	0.2984	0.3122	0.3213
300	0.0834	0.1312	0.1668	0.2404	0.2645	0.2800	0.2909

ตารางที่ 9 แรงเคลื่อนตกในท่อร้อยสายไฟ (1 เฟส)

เอกสารนี้เป็นเอกสารที่สงวนไว้สำหรับการใช้งานเพื่อการศึกษาเท่านั้น ไม่อนุญาตให้นำไปใช้ประโยชน์ด้านการค้า
ไม่ว่ากรณีใดๆ ทั้งสิ้น อีกทั้งห้ามมิให้ตัดแปลงเนื้อหาและต้องอ้างอิงถึงเจ้าของเอกสารทุกครั้งที่มีการนำไปใช้

VOLTAGE DROP
CONDUCTOR TYPE PD-THW RUN IN NON-METALLIC CONDUIT
TYPE PD-NYY RUN IN AIR OR DIRECT BURYING IN GROUND

CONDUCTOR CROSS SECTION	AC(r) RESISTANCE AT 70° C	INDUCTIVE REACTANCE X	Three phase effective resistance per unit length $\sqrt{3} (r \cos\theta + X \sin\theta)$ at 70° c various power factor Ω/KM				
			1.00 Ω/KM	0.95 Ω/KM	0.90 Ω/KM	0.85 Ω/KM	0.80 Ω/KM
SQMM.	Ω/KM	Ω/KM	Ω/KM	Ω/KM	Ω/KM	Ω/KM	Ω/KM
2.5	8.8658	0.1548	15.3560	14.6719	13.9373	13.1939	12.4457
4	5.5157	0.1438	9.5535	9.1536	8.7067	8.2517	7.7922
6	3.6851	0.1380	6.3828	6.1383	5.8487	5.5513	5.2496
10	2.1895	0.1413	3.7923	3.6791	3.5198	3.3524	3.1807
16	1.3759	0.1366	2.3831	2.3379	2.2479	2.1503	2.0485
25	0.8698	0.1293	1.5065	1.5011	1.4535	1.3985	1.3396
35	0.6269	0.1235	1.0858	1.0963	1.0705	1.0356	0.9970
50	0.4630	0.1233	0.8019	0.8285	0.8148	0.7941	0.7697
70	0.3207	0.1172	0.5555	0.5911	0.5884	0.5791	0.5662
95	0.2309	0.1136	0.3999	0.4414	0.4457	0.4436	0.4380
120	0.1840	0.1121	0.3187	0.3634	0.3715	0.3732	0.3715
150	0.1493	0.1121	0.2586	0.3063	0.3174	0.3221	0.3234
185	0.1196	0.1094	0.2072	0.2560	0.2690	0.2759	0.2794
240	0.0918	0.1073	0.1590	0.2091	0.2241	0.2331	0.2387
300	0.0737	0.1066	0.1277	0.1789	0.1954	0.2058	0.2129

ตารางที่ 10 แรงเคลื่อนตกในท่อ PVC (3 เฟส)

เอกสารนี้เป็นเอกสารที่สงวนไว้สำหรับการใช้งานเพื่อการศึกษาเท่านั้น ไม่อนุญาตให้นำไปใช้ประโยชน์ด้านการค้า
 ไม่ว่ากรณีใดๆ ทั้งสิ้น อีกทั้งห้ามมิให้ตัดแปลงเนื้อหาและต้องอ้างอิงถึงเจ้าของเอกสารทุกครั้งที่มีการนำไปใช้

VOLTAGE DROP
CONDUCTOR TYPE PD-THW RUN IN NON-METALLIC CONDUIT
TYPE PD-NYY RUN IN AIR OR DIRECT BURYING IN GROUND

CONDUCTOR CROSS SECTION	AC(r) RESISTANCE AT 70° C	INDUCTIVE REACTANCE X	... Single phase effective resistance per unit length 2 (rcosθ + Xsinθ) at 70° c various power factor Ω/KM				
			1.00 Ω/KM	0.95 Ω/KM	0.90 Ω/KM	0.85 Ω/KM	0.80 Ω/KM
SQMM.	Ω/KM	Ω/KM	Ω/KM	Ω/KM	Ω/KM	Ω/KM	Ω/KM
2.5	8.8658	0.1548	17.7316	16.9417	16.0934	15.2350	14.3710
4	5.5157	0.1438	11.0314	10.5696	10.0536	9.5282	8.9977
6	3.6851	0.1380	7.3702	7.0879	6.7535	6.4101	6.0618
10	2.1895	0.1413	4.3790	4.2483	4.0643	3.8710	3.6728
16	1.3759	0.1366	2.7518	2.6995	2.5957	2.4829	2.3653
25	0.8698	0.1293	1.7396	1.7334	1.6784	1.6149	1.5468
35	0.6269	0.1235	1.2538	1.2682	1.2361	1.1958	1.1512
50	0.4630	0.1233	0.9260	0.9567	0.9409	0.9170	0.8888
70	0.3207	0.1172	0.6414	0.6825	0.6794	0.6687	0.6538
95	0.2309	0.1136	0.4618	0.5097	0.5147	0.5122	0.5058
120	0.1840	0.1121	0.3680	0.4196	0.4289	0.4309	0.4289
150	0.1493	0.1121	0.2996	0.3537	0.3665	0.3719	0.3734
185	0.1196	0.1094	0.2392	0.2956	0.3107	0.3186	0.3226
240	0.0918	0.1073	0.1836	0.2414	0.2588	0.2691	0.2756
300	0.0737	0.1066	0.1474	0.2066	0.2256	0.2376	0.2458

ตารางที่ 11 แรงเคลื่อนตกในท่อ PVC (1 เฟส)

เอกสารนี้เป็นเอกสารที่สงวนไว้สำหรับการใช้งานเพื่อการศึกษาเท่านั้น ไม่อนุญาตให้นำไปใช้ประโยชน์ด้านการค้า
 ไม่ว่าจะกรณีใดๆ ทั้งสิ้น อีกทั้งห้ามมิให้ดัดแปลงเนื้อหาและต้องอ้างอิงถึงเจ้าของเอกสารทุกครั้งที่มีการนำไปใช้

เอกสารอ้างอิง

1. การไฟฟ้านครหลวง, "กฎการเดินสายและติดตั้งอุปกรณ์ไฟฟ้า" กพท., 2532
2. N.F.P.A., National Electric Code Handbook, Fourth Edition, 1987.
3. IPCEA-NEMA Standards Publication-Ampacities of Cable in Open Top Cable Trays-IPCEA Publication No.P-54-440-May 12, 1975.
4. IEEE-IPCEA Power Cable Ampacities, IEEE S1-135, IPCEA p46-426-Second Edition.
5. Phelps Dodge Thailand Limited, "DESIGN MANUAL ON ELECTRICAL CONDUCTOR FOR INTERIOR WIRING" p99-p102- First Edition December 15, 1992
6. Ajit K.Hiranandani P.E.; IEEE Transaction on Power Delivery, p1521-p1526 Vol 4, No. 3, July 1989

